

2552  
10/731094

66586-US  
HE/YO

日 本 国 特 許 庁  
JAPAN PATENT OFFICE

別紙添付の書類に記載されている事項は下記の出願書類に記載されている事項と同一であることを証明する。

This is to certify that the annexed is a true copy of the following application as filed with this Office.

出 願 年 月 日  
Date of Application: 2002年12月13日

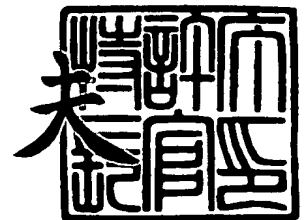
出 願 番 号  
Application Number: 特願2002-362189  
[ST. 10/C]: [JP2002-362189]

出 願 人  
Applicant(s): 株式会社デンソー

2003年10月31日

特許庁長官  
Commissioner,  
Japan Patent Office

今井 康夫



出証番号 出証特2003-3090671

【書類名】 特許願

【整理番号】 PY20022193

【提出日】 平成14年12月13日

【あて先】 特許庁長官 殿

【国際特許分類】 G01F 1/68  
G01P 5/12

【発明者】

【住所又は居所】 愛知県刈谷市昭和町 1 丁目 1 番地 株式会社デンソー内

【氏名】 岩城 隆雄

【発明者】

【住所又は居所】 愛知県刈谷市昭和町 1 丁目 1 番地 株式会社デンソー内

【氏名】 和戸 弘幸

【発明者】

【住所又は居所】 愛知県刈谷市昭和町 1 丁目 1 番地 株式会社デンソー内

【氏名】 山本 敏雅

【発明者】

【住所又は居所】 愛知県刈谷市昭和町 1 丁目 1 番地 株式会社デンソー内

【氏名】 磯村 清和

【特許出願人】

【識別番号】 000004260

【氏名又は名称】 株式会社デンソー

【代理人】

【識別番号】 100068755

【弁理士】

【氏名又は名称】 恩田 博宣

【選任した代理人】

【識別番号】 100105957

【弁理士】

【氏名又は名称】 恩田 誠

## 【手数料の表示】

【予納台帳番号】 002956

【納付金額】 21,000円

## 【提出物件の目録】

【物件名】 明細書 1

【物件名】 図面 1

【物件名】 要約書 1

【包括委任状番号】 9908214

【プルーフの要否】 要

【書類名】 明細書

【発明の名称】 フローセンサ

【特許請求の範囲】

【請求項 1】 発熱体と、該発熱体の近傍の温度を感知する感温体とを備えて流体の流量を感知するフローセンサにおいて、

前記発熱体が P 型の導電型を有する半導体にて形成されるとともに、その線幅が「 $7\ \mu\text{m} \sim 80\ \mu\text{m}$ 」に設定されてなる

ことを特徴とするフローセンサ。

【請求項 2】 前記発熱体の線幅が「 $15\ \mu\text{m}$ 」以上に設定されてなる請求項 1 記載のフローセンサ。

【請求項 3】 前記発熱体は、電流の流通方向が少なくとも隣り合うもの同士で異なる複数の線路の直列接続体として形成されてなる

請求項 1 又は 2 記載のフローセンサ。

【請求項 4】 発熱体と、該発熱体の近傍の温度を感知する感温体とを備えて流体の流量を感知するフローセンサにおいて、

前記感温体が P 型の導電型を有する半導体にて形成されるとともに、その線幅が「 $7\ \mu\text{m} \sim 80\ \mu\text{m}$ 」に設定されてなる

ことを特徴とするフローセンサ。

【請求項 5】 前記感温体の線幅が「 $15\ \mu\text{m}$ 」以上に設定されてなる請求項 4 記載のフローセンサ。

【請求項 6】 前記感温体は、電流の流通方向が少なくとも隣り合うもの同士で異なる複数の線路の直列接続体として形成されてなる

請求項 4 又は 5 記載のフローセンサ。

【請求項 7】 前記 P 型の導電型を有する半導体が、ボロンのドーピングされたシリコンである

請求項 1 ～ 6 のいずれかに記載のフローセンサ。

【請求項 8】 前記 P 型の導電型を有する半導体の不純物濃度が、「 $1 \times 10^{20}\ \text{cm}^{-3}$ 」以上である

請求項 1 ～ 7 のいずれかに記載のフローセンサ。

【請求項 9】発熱体と、該発熱体を覆う絶縁膜とを備える薄膜部を有し、且つ前記発熱体で消費される電力に基づいた流体の流量検出に用いられるフローセンサにおいて、

前記発熱体には、前記絶縁膜よりも熱伝導性の高い熱伝導部材が、電流の流れないダミーパターンとして設けられてなる

ことを特徴とするフローセンサ。

【請求項 10】前記熱伝導部材は、前記絶縁膜によってその周囲が電氣的に絶縁されてなる

請求項 9 記載のフローセンサ。

【請求項 11】前記熱伝導部材は、前記絶縁膜よりも熱伝導性の高い熱連結線によって前記発熱体と一カ所で接続されてなる

請求項 9 記載のフローセンサ。

【請求項 12】前記熱伝導部材は、前記発熱体に接続されて且つ、同発熱体の線幅方向に延設されるかたちで設けられてなる

請求項 9 記載のフローセンサ。

【請求項 13】前記発熱体がシリコンからなる

請求項 9 ～ 12 のいずれかに記載のフローセンサ。

【請求項 14】前記発熱体にはボロンがドーピングされているとともに、その線幅が「7  $\mu$ m」以上に設定されてなる

請求項 13 記載のフローセンサ。

【請求項 15】前記発熱体の線幅が「15  $\mu$ m」以上に設定されてなる

請求項 14 記載のフローセンサ。

【請求項 16】発熱体と、該発熱体を覆う絶縁膜とを備える薄膜部を有し、且つ前記発熱体で消費される電力に基づいた流体の流量検出に用いられるフローセンサにおいて、

前記絶縁膜よりも熱伝導性の高い熱伝導部材が前記発熱体に近接して形成されてなり、且つ、該熱伝導部材と前記発熱体とは導電性を有する複数の熱連結線にて接続されてなるとともに、これら各熱連結線と前記熱伝導部材との接点が互いに同電位に設定されてなる

ことを特徴とするフローセンサ。

【請求項 17】前記発熱体がシリコンからなる

請求項 16 記載のフローセンサ。

【請求項 18】前記発熱体にはボロンがドーピングされているとともに、同発熱体の電流流通方向に直交する方向の極小値が「 $7\ \mu\text{m}$ 」以上に設定されてなる

請求項 17 記載のフローセンサ。

【請求項 19】前記発熱体の電流流通方向に直交する方向の極小値が「 $15\ \mu\text{m}$ 」以上に設定されてなる

請求項 18 記載のフローセンサ。

【請求項 20】前記熱伝導部材が前記発熱体と同一の材料にて形成されてなる

請求項 9～19 のいずれかに記載のフローセンサ。

【請求項 21】発熱体と、該発熱体の付近の温度を感知する感温体とを備えて流体の流量を感知するフローセンサにおいて、

前記発熱体がシリコンにて形成されるとともに、該発熱体には、同じくシリコンからなる熱伝導部材が、電流の流れないダミーパターンとして設けられてなることを特徴とするフローセンサ。

【請求項 22】前記発熱体は、電流の流通方向が少なくとも隣り合うもの同士で異なる複数の線路の直列接続体として形成されてなる

請求項 9～21 のいずれかに記載のフローセンサ。

【請求項 23】発熱体と、該発熱体の近傍の温度を感知する感温体とを備えて流体の流量を感知するフローセンサにおいて、

前記発熱体は、ボロンのドーピングされたシリコンからなるとともに、その流体の流通方向の幅である敷設幅内で電流の流通を制限する 1 乃至複数の縮幅部を有し、該縮幅部の極小値が「 $7\ \mu\text{m}$ 」以上に設定されてなる

ことを特徴とするフローセンサ。

【請求項 24】前記縮幅部の極小値が「 $15\ \mu\text{m}$ 」以上に設定されてなる

請求項 23 記載のフローセンサ。

【請求項 2 5】発熱体と、該発熱体の近傍の温度を感知する感温体とを備えて流体の流量を感知するフローセンサにおいて、

前記発熱体は、並列接続された複数の発熱抵抗体からなるとともに、それら各発熱抵抗体がボロンのドーピングされたシリコンからなって、その線幅が各々「 $7\mu\text{m}$ 」以上に設定されてなる

ことを特徴とするフローセンサ。

【請求項 2 6】前記発熱抵抗体の線幅が各々「 $15\mu\text{m}$ 」以上に設定されてなる

請求項 2 5 記載のフローセンサ。

【発明の詳細な説明】

【0 0 0 1】

【発明の属する技術分野】

本発明は、発熱体の生ずる熱が同発熱体付近を流通する流体によって奪われることを利用して流体の流量を感知するフローセンサに関する。

【0 0 0 2】

【従来の技術】

一般に、この種のフローセンサを備えて構成されるフローメータでは、発熱体の生じる熱のうち、流体によって奪われる熱量は、流体の流量が多くなるほど増加することから、この流体によって奪われる熱量に基づいて発熱体付近の流体の流量を検出するようにしている。

【0 0 0 3】

具体的には、例えば下記特許文献 1 に記載されているように、発熱体の温度を所定の温度に制御するとともに、上記発熱体の熱のうち流体によって奪われた熱量の指標としての同発熱体の付近の温度を、感温体を通じて感知することで流体の流量を検出するようにしている。

【0 0 0 4】

図 2 8 に、この特許文献 1 に記載されているフローセンサの構造を示す。

このフローセンサにおいては、半導体基板 3 0 0 の一部に空洞部が形成され、この空洞部上に、上記流体の流量を感知する部分となる薄膜部 3 1 0 が設けられ

ている。そして、この薄膜部 310 には、発熱体 311 と、同発熱体 311 の上流側の温度を感知する上流側感温体 312 と、同発熱体 311 の下流側の温度を感知する下流側感温体 313 とが備えられている。更に、半導体基板 300 には、当該フローセンサの環境温度を感知する温度計 320 が備えられている。

#### 【0005】

そして、同図 28 に示されるように、上記発熱体 311 や、上流側感温体 312、下流側感温体 313、温度計 320 は、それぞれリード部 330～337 を介してパッド 340～347 と接続されている。そして、上記発熱体 311 や、上流側感温体 312、下流側感温体 313、温度計 320 は、これらパッド 340～347 を介して、流体の流量についての検出信号を生成する信号生成回路(図示略)と接続される。

#### 【0006】

ここで、上記発熱体 311 や、上流側感温体 312、下流側感温体 313、温度計 320 は、いずれも抵抗値の変化に基づき温度を感知する機能を有する。そして、信号生成回路では、発熱体 311 の感知する同発熱体 311 自身の温度を、温度計 320 の感知する環境温度よりも所定の温度だけ高くなるように発熱体 311 へ供給する電力量を制御する。また、信号生成回路では、発熱体 311 の熱量のうち薄膜部 310 を通過する流体によって奪われた熱量を上流側感温体 312 や、下流側感温体 313 の感知する温度に基づいて検出する。

#### 【0007】

更に、この特許文献 1 には、流体の流通方向についての発熱体 311 の幅である発熱体 311 の線幅 W を「0.1mm」以上とすることが提案されている。このように、発熱体 311 の線幅 W をある程度確保することで、同発熱体 311 の放熱量を十分に確保することができる。そして、このため、上流側感温体 312 や下流側感温体 313 による発熱体 311 の生じる熱の感知精度を向上させることができる。

#### 【0008】

##### 【特許文献 1】

特開 2002-48616 号公報



## 【0009】

## 【発明が解決しようとする課題】

ところで、上記発熱体 311 の線幅  $W$  を広くすることは、(イ) 発熱体 311 を用いて感知される流体の流量の感度の低下や、(ロ) フローセンサとしての消費電力の増大を招くこととなる。以下、これら (イ) 及び (ロ) の不都合が生じる理由について説明する。

## 【0010】

まず、上記 (イ) の不都合が生じる理由について説明する。

上記発熱体 311 の線幅  $W$  の拡大は同発熱体 311 の抵抗値の低下を招く。すなわち、上記リード部 330、331 の抵抗値に対する発熱体 311 の抵抗値の比が低下することとなる。一方、発熱体 311 の抵抗値の変化に基づきその温度を感知するとはいえ、この感知結果には、リード部 330、331 での電圧降下が含まれている。このため、リード部 330、331 の抵抗値に対する発熱体 311 の抵抗値の比が小さい場合には、このリード部 330、331 での電圧降下が無視できないものとなり、発熱体 311 による自身の温度の感知精度が低下することとなる。そしてひいては、この温度感知精度の低下に起因して流体の流量感知精度も低下する。

## 【0011】

次に、上記 (ロ) の不都合が生じる理由について説明する。

上記発熱体 311 と上記リード部 330、331 とには同じ量の電流が流れる。そして、発熱体 311 とリード部 330、331 との発熱量は、そこに流れる電流を  $I$ 、発熱体 311 の抵抗値を  $R_1$ 、リード部 330、340 の抵抗値を  $R_2$  とすると、それぞれ「 $R_1 \times I^2$ 」、「 $R_2 \times I^2$ 」となる。すなわち、リード部 330、331 では、電流の大きさの 2 乗に比例した量「 $R_2 \times I^2$ 」の電力が無駄に消費されていることになる。結局、上記発熱体 311 の線幅  $W$  の拡大は、同発熱体 311 の抵抗値の低下を招き、これにより、発熱体 311 で必要とされる発熱を得るための電流量の増大を招く。そしてこのことが、リード部 330、331 での電力の無駄な消費を助長する結果を招いている。

## 【0012】

そこで、これら（イ）及び（ロ）の不都合に対する解決策の1つとして、リード部330、331の抵抗値を低下させることが考えられる。しかし、上記半導体基板300におけるパッド340～347の近傍は通常、フローセンサを支持するための支持部材（図示略）によって覆われており、この支持部材により流体の流通が乱されやすい。このため、リード部330、331の抵抗値を低減すべく、流体の流量を感知する薄膜部310及びパッド340～347間の距離Lを短縮すると、薄膜部310付近における流体の流通が上記支持部材によって影響を受けやすくなる。このように、上記薄膜部310付近における流体の流通が上記支持部材によって影響される場合には、流体の流量感知精度の低下も避けられない。

#### 【0013】

また、上記（イ）の不都合に対する他の解決策としては、発熱体311自体の電流流通方向にかかる長さを伸張させることも考えられる。しかし、こうした発熱体311自身の伸張は、半導体基板300における薄膜部310の面積の増大を招くことともなる。そして、このような薄膜部310の面積の増大は、同薄膜部310としての熱容量の増大に起因した消費電力の増大を招き、上記（ロ）の不都合を助長するばかりか、チップサイズの増大によるコスト増加という新たな問題を招くことともなる。

#### 【0014】

なお、上記特許文献1に記載のフローセンサに限らず、発熱体と、該発熱体の近傍の温度を感知する感温体とを備えて流体の流量を感知するフローセンサにあっては、上記発熱体や感温体の線幅の増大に伴う上述した課題も概ね共通したものとなっている。

#### 【0015】

本発明は、こうした実情に鑑みてなされたものであり、その目的は、消費電力の浪費を抑制しつつ、その感度の好適な向上を図ることのできるフローセンサを提供することにある。

#### 【0016】

【課題を解決するための手段】

こうした目的を達成するため、請求項1記載のフローセンサでは、発熱体をP型の導電型を有する半導体にて形成するとともに、その線幅を「 $7\mu\text{m}\sim 80\mu\text{m}$ 」に設定するようにした。これにより、同発熱体と接続されるリード部との抵抗値の比を確保することができ、その感度の向上や消費電力の抑制を図ることができる。また、高熱、長時間の使用による経時変化を抑制することができるようになる。

#### 【0017】

また、請求項2記載のフローセンサでは、発熱体の線幅を「 $15\mu\text{m}$ 」以上に設定したことで、高熱、長時間の使用による経時変化をいっそう抑制することができるようになる。

#### 【0018】

また、請求項3記載のフローセンサでは、発熱体を、電流の流通方向が少なくとも隣り合うもの同士で異なる複数の線路の直列接続体として形成した。これにより、発熱体の長さ（電流の流通方向の長さ）を稼ぐことができるため、その抵抗値を高めることができる。これにより、同発熱体と接続されるリード部との抵抗値の比を確保することができ、ひいては、その感度の向上や消費電力の抑制を図ることができるようになる。

#### 【0019】

なお、ここで、発熱体は、自身の温度を感知する感温体としての機能を併せ持つ構成や、同発熱体で消費される電力量に基づいて流体の流量等が検出される構成であることが望ましい。

#### 【0020】

また、請求項4記載のフローセンサでは、感温体をP型の導電型を有する半導体にて形成するとともに、その線幅を「 $7\mu\text{m}\sim 80\mu\text{m}$ 」に設定するようにした。これにより、同感温体と接続されるリード部との抵抗値の比を確保することができ、その感度の向上や消費電力の抑制を図ることができる。また、発熱体の生じる熱に長時間曝されることによる経時変化を抑制することができるようになる。

#### 【0021】

また、請求項 5 記載のフローセンサでは、感温体の線幅を「 $15\ \mu\text{m}$ 」以上に設定したことで、高熱、長時間の使用による経時変化をいっそう抑制することができるようになる。

#### 【0022】

また、請求項 6 記載のフローセンサでは、感温体を、電流の流通方向が少なくとも隣り合うもの同士で異なる複数の線路の直列接続体として形成した。これにより、感温体の長さ（電流の流通方向の長さ）を稼ぐことができるため、その抵抗値を高めることができる。これにより、感温体と接続されるリード部との抵抗値の比を確保することができ、その感度の向上を図ることができるようになる。

#### 【0023】

なお、請求項 1～6 記載のフローセンサは、請求項 7 記載に記載のように、P 型の導電型を有する半導体が、ボロンのドーピングされたシリコンであるようにすることが望ましい。これにより、高温、長時間の使用環境における経時変化を好適に抑制することができる。

#### 【0024】

請求項 8 記載のフローセンサでは、P 型の導電型を有する半導体の不純物濃度を「 $1 \times 10^{20}\ \text{cm}^{-3}$ 」以上とした。これにより、高温、長時間の使用環境における経時変化を好適に抑制することができる。更に、不純物濃度が「 $1 \times 10^{20}\ \text{cm}^{-3}$ 」以上の領域は、同不純物濃度が大きければ大きいほど抵抗温度係数が大きくなる領域である。このため、上記半導体を感温体として構成する場合や自身の温度を感知する機能を有する発熱体として構成する場合には、その感度を向上させることができるようになる。

#### 【0025】

請求項 9 記載のフローセンサでは、発熱体に、絶縁膜よりも熱伝導性の高い熱伝導部材を、電流の流れないダミーパターンとして設けた。このため、発熱体からの放熱量を上昇させることができる。したがって、流体によって奪われる熱量を増大することができるため、発熱体で消費される電力量を十分に確保することができる。したがって、流体に対するフローセンサの感度を向上させることができるようになる。

**【 0 0 2 6 】**

しかも、熱伝導部材は、電流が流れない態様にて形成されるために、発熱体の抵抗値を下げることはない。従って、上記（ロ）の不都合を回避しつつ、その感度の好適な向上を図ることができる。

**【 0 0 2 7 】**

請求項 1 0 記載のフローセンサでは、上記絶縁膜によって熱伝導部材の周囲を電氣的に絶縁したために、その電氣的な絶縁を確実に行うことができるようになる。

**【 0 0 2 8 】**

請求項 1 1 記載のフローセンサでは、熱伝導部材を、上記絶縁膜よりも熱伝導性の大きな熱連結線によって発熱体と一カ所で接続するようにした。このように熱連結線を用いることで、熱伝導部材の温度がただちに発熱体の温度に追従するようになり、応答性を向上させることができる。しかも、熱伝導部材は、発熱体と単一の熱連結線にて接続されているために、この熱連結線が導電性を有していたとしても、熱伝導部材への電流の流入はなく、同熱伝導部材によって電力が消費されることを回避することができる。

**【 0 0 2 9 】**

請求項 1 2 記載のフローセンサでは、熱伝導部材を、発熱体に接続されて且つ、同発熱体の線幅方向に延設されるかたちで設けた。このように熱連結線を用いることで、熱伝導部材の温度がただちに発熱体の温度に追従するようになり、応答性を向上させることができる。しかも、熱伝導部材は、発熱体と熱連結線にて一カ所で接続されているために、この熱連結線が導電性を有していたとしても、熱伝導部材への電流の流入はなく、同熱伝導部材によって電力が消費されることを回避することができる。

**【 0 0 3 0 】**

請求項 1 3 記載のフローセンサでは、発熱体をシリコンにて形成した。これにより、発熱体を半導体プロセスにて簡易に形成することができるようになる。

請求項 1 4 記載のフローセンサでは、発熱体を、ボロンをドーピングして形成するとともに、その線幅を「7  $\mu$  m」以上に設定するようにした。これにより、

高温、長時間での使用環境に起因する経時変化を好適に抑制することができるようになる。

#### 【0031】

請求項15記載のフローセンサでは、発熱体の線幅を「 $15\mu\text{m}$ 」以上に設定したことで、高温、長時間での使用環境に起因する経時変化をいっそう好適に抑制することができるようになる。

#### 【0032】

請求項16記載のフローセンサでは、絶縁膜よりも熱伝導性の高い熱伝導部材が発熱体に近接して形成されてなり、且つ、該熱伝導部材と発熱体とは導電性を有する複数の熱連結線にて接続されてなるとともに、これら各熱連結線と前記熱伝導部材との接点が互いに同電位に設定されてなるようにした。このため、発熱体からの放熱量を上昇させることができる。これにより、流体によって奪われる熱量を増大させることができ、発熱体で消費される電力量を十分に確保することができる。したがって、流体に対するフローセンサの感度を向上させることができるようになる。

#### 【0033】

しかも、各熱連結線と熱伝導性部材との接点を互いに同電位となるように配置することで、熱伝導部材中を電流が流れることはなく、同熱伝導部材にて電力が消費されることはない。

#### 【0034】

請求項17記載のフローセンサでは、発熱体をシリコンにて形成した。これにより、発熱体を半導体プロセスにて簡易に形成することができるようになる。

請求項18記載のフローセンサでは、発熱体を、ボロンをドーピングして形成するとともに、電流の流通方向に直交する方向の幅に対する極小値を「 $7\mu\text{m}$ 」以上に設定するようにした。これにより、高温、長時間での使用環境に起因する経時変化を好適に抑制することができるようになる。

#### 【0035】

請求項19記載のフローセンサでは、発熱体の電流流通方向に直交する方向の極小値を「 $15\mu\text{m}$ 」以上に設定することで、高温、長時間での使用環境に起因

する経時変化をいっそう好適に抑制することができるようになる。

【 0 0 3 6 】

請求項 2 0 記載のフローセンサでは、熱伝導部材を、発熱体と同一の材料にて形成するようにした。これにより、これら熱伝導部材と発熱体とを同一の工程にて形成することができるようになり、製造工数を低減することができる。

【 0 0 3 7 】

請求項 2 1 記載のフローセンサでは、発熱体がシリコンにて形成されるとともに、該発熱体に、同じくシリコンからなる熱伝導部材を、電流の流れないダミーパターンとして設けるようにした。

【 0 0 3 8 】

ここで、シリコンは絶縁膜と比較して熱伝導性が高いため、熱伝導部材によって発熱体の熱が感温体へと迅速に伝達されるようになる。このため、流体の流量や流速が急激に変化したとしても、この変化は熱伝導部材を通じて速やかにフローセンサの温度分布に反映されることとなる。これにより、感温体ではこの温度変化を速やかに感知することができるようになる。したがって、フローセンサの応答性を向上させることができるようになる。

【 0 0 3 9 】

また、発熱体及び熱伝導部材を同一の材料であるシリコンで形成することで、これらを同一工程にて形成することができるようになる。したがって、製造工数の増大を回避しつつ応答性を向上させることができる。

【 0 0 4 0 】

更に、シリコンは、金属材料と熱伝導性（熱抵抗）はほぼ等しいにもかかわらず、その抵抗率は金属材料よりも大きい。このため、シート抵抗を所望の値とする場合、発熱体を金属で形成する場合と比較して同発熱体をシリコンで形成する場合の方が膜厚が厚くなる。そして、こうした条件下、発熱体及び熱伝導部材を同一の工程にて製造する場合には、熱伝導部材をシリコンにて形成した場合の方が金属で形成した場合と比較して、その熱伝導性が高くなる（熱抵抗が低くなる）。

【 0 0 4 1 】

請求項 22 記載のフローセンサでは、発熱体を、電流の流通方向が少なくとも隣り合うもの同士で異なる複数の線路の直列接続体として形成した。これにより、発熱体の長さ（電流の流通方向の長さ）を稼ぐことができるため、その抵抗値を高めることができる。これにより、同発熱体と接続されるリード部との抵抗値の比を確保することができ、ひいては、その感度の向上や消費電力の抑制を図ることができるようになる。

#### 【0042】

請求項 23 記載のフローセンサでは、発熱体を、ボロンのドーピングされたシリコンからなるとともに、その流体の流通方向の幅である敷設幅内で電流の流通を制限する 1 乃至複数の縮幅部を有し、該縮幅部の極小値が「 $7\mu\text{m}$ 」以上に設定されるようにした。

#### 【0043】

このように、その流体の流通方向の幅である敷設幅内で電流の流通を制限する 1 乃至複数の縮幅部を有することで、この電流の流れに供される幅を敷設幅と同一とした場合と比較して、その抵抗を大きくすることができる。このため、敷設幅を広く設定することで発熱体の放熱量を十分に確保しつつも、その抵抗値を大きくすることができる。したがって、フローセンサの感度の向上や消費電力の低減を図ることができる。

#### 【0044】

また、発熱体をボロンにて形成すると共に、縮幅部の極小値が「 $7\mu\text{m}$ 」以上に設定することで、高温、長時間での使用環境に起因する経時変化を好適に抑制することができるようになる。

#### 【0045】

請求項 24 記載のフローセンサでは、縮幅部の極小値を「 $15\mu\text{m}$ 」以上に設定することで、高温、長時間での使用環境に起因する経時変化をいっそう好適に抑制することができるようになる。

#### 【0046】

請求項 25 記載のフローセンサでは、発熱体を、並列接続された複数の発熱抵抗体からなるとともに、それら各発熱抵抗体をボロンのドーピングされたシリコ



ンからなって、その線幅が各々「 $7\mu\text{m}$ 」以上に設定されるようにした。このため、発熱体の電流の流通方向に直交する方向の幅である敷設幅を、電流の流れに供される幅よりも大きくすることができる。これにより、電流の流れに供される幅を敷設幅と同一とした場合と比較して、その抵抗を大きくすることができる。このため、敷設幅を広く設定することで発熱体の放熱量や同発熱体の生じる熱の伝導を好適に行いつつ、その抵抗値を確保することができる。したがって、フローセンサの感度の向上や消費電力の低減を図ることができる。

#### 【0047】

また、発熱抵抗体をボロンにて形成すると共にその線幅を「 $7\mu\text{m}$ 」以上に設定することで、高温、長時間での使用環境に起因する経時変化を好適に抑制することができるようになる。

#### 【0048】

請求項26記載のフローセンサでは、発熱抵抗体の線幅を各々「 $15\mu\text{m}$ 」以上に設定することで、高温、長時間での使用環境に起因する経時変化をいっそう好適に抑制することができるようになる。

#### 【0049】

##### 【発明の実施の形態】

##### (第1の実施形態)

以下、本発明にかかるフローセンサを車載用内燃機関の吸入空気量を検出するフローメータに適用した第1の実施形態を図面を参照しつつ説明する。

#### 【0050】

図1に、上記フローメータFMの回路構成を示す。同図1に示されるように、このフローメータFMは、熱式のフローセンサFSと、該フローセンサFSの感知結果に基づき電気信号を生成する信号生成回路SGとを備えている。

#### 【0051】

ここで、フローセンサFSは、上流側ヒータRhaと下流側ヒータRhbと、当該フローメータFMの環境温度を感知する上流側温度計Rkaと下流側温度計Rkbとを備えている。

#### 【0052】

本実施形態においては、これら上流側ヒータ R h a と下流側ヒータ R h b は、発熱体であるとともに自身の温度を感知する感温体としても機能する。すなわち、これら上流側ヒータ R h a と下流側ヒータ R h b は、電流の供給によって発熱する抵抗体としての機能に加えて、同抵抗体の抵抗値の変化に基づいて自身の温度をも感知するものである。そして、フローセンサ F S では、上流側ヒータ R h a と下流側ヒータ R h b との生じる熱のうち流体によって奪われる熱に基づき流体の流量を感知する。また、フローセンサ F S では、上流側ヒータ R h a と下流側ヒータ R h b とのそれぞれの生じる熱のうち流体によって奪われる熱量の差に基づき、流体の流通方向を感知する。

#### 【0053】

一方、信号生成回路 S G は、上記フローセンサ F S による流体の流量及び流体の流通方向の感知結果に応じた検出信号を生成する。詳しくは、上流側ヒータ R h a 及び上流側温度計 R k a の温度差と、下流側ヒータ R h b 及び下流側温度計 R k b の温度差とをそれぞれ所定値（例えば「200℃」）とするように、フローセンサ F S へ供給する電流を制御する。そして、このフローセンサ F S で消費される電力に基づき上記流体の流量及び流体の流通方向に応じた検出信号を生成する。

#### 【0054】

ここで、上記フローセンサ F S 及び信号生成回路 S G を備えるフローメータ F M の具体的な回路構成について更に説明する。

フローメータ F M は、吸気通路の上流側に対応した上流側ホイーストンプリッジ U H B と、吸気通路の下流側に対応した下流側ホイーストンプリッジ D H B とを備えている。

#### 【0055】

ここで、上流側ホイーストンプリッジ U H B は、上流側ヒータ R h a から抵抗 R 1 a へと、また、上流側温度計 R k a から抵抗 R 2 a へとそれぞれ電流が流れる態様にて、上流側ヒータ R h a 及び抵抗 R 1 a と上流側温度計 R k a 及び抵抗 R 2 a とが並列接続された回路である。そして、上流側ヒータ R h a と上流側温度計 R k a との接続点 P a にトランジスタ U T を介してバッテリー B から電流が供

給される。そして、上流側ヒータ R h a での電圧降下と上流側温度計 R k a での電圧降下とは差動増幅回路 U O P に取り込まれる。そして、この差動増幅回路 U O P により、これら 2 つの電圧降下を等しくすべく、換言すればブリッジの平衡条件を成立させるべく、これらの電圧降下の差に応じてトランジスタ U T が制御される。

#### 【0056】

ここで、上流側ホイーストnbrリッジ U H B は、平衡条件が成立したときに、上流側ヒータ R h a の温度が上流側温度計 R k a の温度よりも上記所定値だけ高くなるように設定されている。なお、環境温度にかかわらず、上流側ヒータ R h a の温度が上流側温度計 R k a の温度よりも上記所定値だけ高くなるときに上記平衡条件が成立するようにすべく、これら上流側ヒータ R h a と上流側温度計 R k a とは、抵抗温度係数が互いに等しく設定されている。

#### 【0057】

一方、下流側ホイーストnbrリッジ D H B は、下流側ヒータ R h b から抵抗 R 1 b へと、また、下流側温度計 R k b から抵抗 R 2 b へとそれぞれ電流が流れる態様にて、下流側ヒータ R h b 及び抵抗 R 1 b と下流側温度計 R k b 及び抵抗 R 2 b とが並列接続された回路である。この下流側ホイーストnbrリッジ D H B も、上流側ホイーストnbrリッジ U H B と同様、平衡条件を成立させるべく、トランジスタ D T 及び差動増幅回路 D O P を備えている。なお、この下流側ホイーストnbrリッジ D H B の構成は、上流側ホイーストnbrリッジ U H B の構成と同様であるため、その説明を割愛する。

#### 【0058】

これら上流側ホイーストnbrリッジ U H B の上流側ヒータ R h a での電圧降下と、下流側ホイーストnbrリッジ D H B の下流側ヒータ R h b での電圧降下とは、差動増幅回路 C O P に取り込まれる。そして、これら 2 つの電圧降下の差に応じた信号が差動増幅回路 C O P にて生成され、増幅回路 A C によって増幅された後、信号生成回路 S G の端子 P 7 を介して外部に出力される。この端子 P 7 を介して出力される検出信号が流体の流量及び流通方向の検出信号である。

#### 【0059】

図 2 に、上記フローセンサ F S の構成を示す。このフローセンサ F S は、半導体基板 1 0 を備えて構成されている。そして、半導体基板 1 0 上に積層されているシリコン酸化膜 2 0 上には、上流側ヒータ R h a や下流側ヒータ R h b、上流側温度計 R k a や下流側温度計 R k b が形成されている。そして、これら上流側ヒータ R h a や下流側ヒータ R h b、上流側温度計 R k a、下流側温度計 R k b は、リード部 L 1 ~ L 6 を介して、先の図 1 に示した信号生成回路 S G との接続端子となるパッド P 1 ~ P 6 と接続されている。

#### 【 0 0 6 0 】

ちなみに、半導体基板 1 0 は、空洞部 H を有する。詳しくは、半導体基板 1 0 は、その裏面側において図 2 に 1 点鎖線にて示す矩形状の領域が開口されているとともに、この開口面積が半導体基板 1 0 の上面側へ行くほど縮小され、同半導体基板 1 0 の上面では図 2 に破線にて示されるような矩形状の領域となっている。

#### 【 0 0 6 1 】

このように空洞部 H を有するために、上流側ヒータ R h a や下流側ヒータ R h b は、フローセンサ F S のうち、半導体基板 1 0 の空洞部 H を架橋するようにして形成されている薄膜部 M B に備えられることとなる。この薄膜部 M B は、フローセンサ F S の他の箇所と比べてその膜厚が薄く形成されているために、熱容量が低く抑えられ、また、フローセンサ F S の他の箇所との熱的な絶縁が図られている。

#### 【 0 0 6 2 】

次に、上記フローメータ F M が車載内燃機関の吸気通路に配置された際の状態について説明する。

図 3 ( a ) に示すように、吸気通路 I M F には、同吸気通路 I M F 内を流通する流体の一部が取り込まれ、この取り込まれた流体を所定に流通させる流路部材 F P が取り付けられている。そして、この流路部材 F P には、上記フローセンサ F S が取り付けられている。一方、吸気通路 I M F の外側には、信号生成回路 S G が配置されている。そして、フローセンサ F S と信号生成回路 S G とは、流路部材 F P 内に収納されている配線（図示略）によって接続されている。

**【0063】**

なお、図3（a）に示すように、フローセンサF Sの薄膜部MBは、上述した上流側ヒータR h a及び上流側温度計R k aが、下流側ヒータR h b及び下流側温度計R k bよりもエアクリーナ側になるように配置されている。また、上流側ヒータR h a及び下流側ヒータR h bは、その長手方向が流通方向と直交する方向となるようにして配置されている。更に、先の図2に示したように、上流側ヒータR h a及び下流側ヒータR h bは、互いに鏡像対称且つサイズ同一の形状とされると共に、流体の流通方向に直交する方向であって且つこれら上流側ヒータR h a及び下流側ヒータR h bを2分する中心線に対して対称に配置される。

**【0064】**

図3（b）に、流路部材F PへのフローセンサF Sの取り付け状態を拡大してしめす。同図3（b）に示されるように、フローセンサF Sは、その表面が露出されつつも、その側面及び裏面が流路部材F Pの収容部s pによって保護されている。また、フローセンサF Sの表面についても、先の図2に示したパッドP 1～P 6の近傍の部分は、流路部材F Pの支持部h pによって覆われている。

**【0065】**

次に、上記フローセンサF Sのうち、特に上記薄膜部MBについて更に説明する。

図4に、フローセンサF Sのうち薄膜部MB近傍の断面構成を示す。この図4は、先の図2のA-A断面を示している。同図4に示すように、シリコンからなる半導体基板10には、上記シリコン酸化膜20が形成されている。そして、シリコン酸化膜20上には、上流側ヒータR h a、下流側ヒータR h b、リード部L 2、L 5、上流側温度計R k a、下流側温度計R k bがそれぞれ単結晶シリコンにて形成されている。そして、これら上流側ヒータR h aや、下流側ヒータR h b、リード部L 2、L 5、上流側温度計R k a、下流側温度計R k bを覆うようにして、シリコン窒化膜40が積層されている。ちなみに、上記シリコン酸化膜20やシリコン窒化膜40は、空洞部Hを含めて半導体基板10の上方の略全ての領域に積層形成されている。

**【0066】**

ここで、上流側ヒータ R h a 及び下流側ヒータ R h b について更に説明する。  
本実施形態では、これら上流側ヒータ R h a 及び下流側ヒータ R h b をボロン(B)が注入されることで P 型の導電型を有する単結晶シリコンにて形成する。そして、これにより、高温、長時間の使用環境におけるこれら上流側ヒータ R h a 及び下流側ヒータ R h b の経時変化を抑制する。

#### 【0067】

以下、このボロンの注入された単結晶シリコン（シリコン抵抗体）の経時変化について、図 5 を用いて説明する。

図 5 は、ボロンの注入されたシリコン抵抗体を「310℃」の高温下に「1500時間」保持することによる抵抗値の変化率について、そのシリコンの線幅への依存性を調べる実験結果を示すものである。ここで、実際に実験で用いたシリコン抵抗体の線幅は、「0.5  $\mu\text{m}$ 」、「1  $\mu\text{m}$ 」、「2  $\mu\text{m}$ 」、「3  $\mu\text{m}$ 」、「5  $\mu\text{m}$ 」、「7  $\mu\text{m}$ 」、「10  $\mu\text{m}$ 」、「15  $\mu\text{m}$ 」、「30  $\mu\text{m}$ 」、「100  $\mu\text{m}$ 」である。

#### 【0068】

同図 5 に示されるように、シリコン抵抗体の抵抗値の変化率は、同シリコン抵抗体の線幅が「15  $\mu\text{m}$ 」以下の領域ではその線幅が細いほど大きい。同線幅が「7  $\mu\text{m}$ 」以上の領域では抵抗値の変化率が急減する。更に、線幅が「15  $\mu\text{m}$ 」以上であると抵抗値の変化率は最小となり、この値は線幅の増大によってもほとんど変化しない。したがって、ボロンの注入されたシリコン抵抗体の場合、その線幅を「7  $\mu\text{m}$ 」以上に設定することで、高温、長時間の使用環境における経時変化を十分に抑制することができる。そして、同線幅を「15  $\mu\text{m}$ 」以上とすることで、抵抗値の変化を最小とすることができる。

#### 【0069】

次に、同じくボロンの注入されたシリコン抵抗体の特性について、その不純物濃度の影響について考察する。

図 6 は、上記シリコン抵抗体の抵抗変化率について、その不純物濃度への依存性を調べる実験結果を示すものである。この実験は、線幅「30  $\mu\text{m}$ 」のシリコン抵抗体を「310℃」の高温にて「500時間」保持した場合の抵抗値の変化

率を調べたものである。同図 6 に示されるように、抵抗変化率は高濃度であるほど小さくなる。すなわち、シリコン抵抗体の不純物濃度が高濃度であるほど同シリコン抵抗体の経時変化を抑制することができる。

#### 【0070】

更に、図 7 に、シリコンについて、注入される不純物濃度と抵抗温度係数との関係を示す。ちなみに、ここで示す特性は、バルク値であるため線幅等によって変化しない。同図 7 に示されるように、「 $5 \times 10^{18} \text{ cm}^{-3}$ 」以上の濃度においては、不純物濃度が大きければ大きいほど抵抗温度係数が大きくなる。したがって、自身の温度を抵抗値の変化に基づいて感知する上流側ヒータ R h a 及び下流側ヒータ R h b は、不純物濃度を高くすればするほど、その感度を向上させることができる。

#### 【0071】

以上、図 6 及び図 7 に示した実験結果に基づく考察から、ボロンの注入されたシリコン抵抗体の不純物濃度は、キャリア濃度の最大値である固溶度程度であることが望ましい。すなわち、不純物濃度は、「 $1 \times 10^{20} \text{ cm}^{-3}$ 」以上であって固溶度以下の濃度とすることが望ましいことがわかる。なお、この際、ボロンの注入されたシリコン抵抗体の不純物濃度は、その上面から下面まで略一定とすることが望ましい。

#### 【0072】

なお、上述した性質は、ボロンの注入されたシリコン抵抗体についてのものである。このボロンに代えて、リンを注入した単結晶シリコンからなるシリコン抵抗体について、先の図 5 と同様の実験を行った実験結果を図 8 に示す。同図 8 に示されるように、リンの注入されたシリコン抵抗体では、ボロンの注入されたシリコン抵抗体のような抵抗変化率の線幅依存性は見られない。また、抵抗変化率は、ボロンの注入されたシリコン抵抗体の「10 倍」以上となっている。

#### 【0073】

次に、本実施形態における上流側ヒータ R h a 及び下流側ヒータ R h b の具体的な線幅の設定態様について考察する。

本実施形態では、図 9 に示す上流側ヒータ R h a 及び下流側ヒータ R h b の線

幅Wを、「 $7\mu\text{m} \sim 30\mu\text{m}$ 」とする。これは以下の理由による。

【0074】

フローセンサF Sの消費電力の抑制及び感度の向上の観点から、リード部L 2、L 3に対する上流側ヒータR h aの抵抗値の比や、リード部L 4、L 5に対する下流側ヒータR h bの抵抗値の比は大きくすることが望ましい。

【0075】

ところで、先の図2及び図3に示したように、フローセンサF SのパッドP 1～P 6の近傍は、支持部h pによって覆われている。そして、図2に示す支持部h pと薄膜部MBとの間の距離L gは、流体の流通状態を乱さないためには、ある程度の長さ（例えば「 $2.0\text{mm}$ 」以上）確保することが望ましい。このため、リード部L 1～L 6の電流の流通方向の長さには、下限があることがわかる。

【0076】

一方、フローセンサF Sは、極力小面積にて形成することが望まれている。これは、例えば一枚の半導体ウエハから製造することのできるフローセンサの数を極力大きなものとするためである。こうした観点からすれば、上記支持部h pと薄膜部MBとの間の距離L gについての制約の範囲で極力フローセンサF Sの面積を小さくすることが望ましい。このため、リード部L 1～L 6の線幅を拡大させることでその抵抗値を低減することには限界があることとなる。

【0077】

更に、上流側ヒータR h aや下流側ヒータR h bの抵抗を大きくすべく、上流側ヒータR h aや下流側ヒータR h bの長さを増大させることは薄膜部MBの面積の増大をもたらす。これは、フローセンサF Sの小型化と両立しないのみならず、薄膜部MBの熱容量の増大に起因したフローセンサF Sの消費電力の増大を招くこととなる。

【0078】

以上の考察から、本実施形態では、薄膜部MBを「 $800\mu\text{m} \times 800\mu\text{m}$ 」以下、薄膜部MB及び上記パッドP 1～P 6間の長さを「 $2.5 \sim 4.0\text{mm}$ 」とするとともに、図9に示す上流側ヒータR h a及び下流側ヒータR h bの線幅Wを「 $7 \sim 50\mu\text{m}$ 」とする。好ましくは、上記薄膜部MBを、「 $700\mu\text{m} \times$



700  $\mu\text{m}$ 」以下、上流側ヒータ R h a 及び下流側ヒータ R h b の線幅 W を「7 ~ 30  $\mu\text{m}$ 」とする。なお、同線幅 W を「15  $\mu\text{m}$ 」以上とすることがより望ましい。

#### 【0079】

このような設定とすることで、上流側ヒータ R h a 及び下流側ヒータ R h b を、経時変化の抑制された抵抗体として形成することができると共に、フローセンサ F S の消費電力の抑制や感度の向上を図ることができる。

#### 【0080】

次に、本実施形態にかかるフローセンサ F S の製造工程を図 10 及び図 11 を用いて説明する。図 10 及び図 11 に示す断面は、先の図 2 に示した B-B 断面である。

#### 【0081】

この一連の製造工程においては、まず図 10 (a) に示すような S O I (Silicon On Insulator) 基板を用意する。ここでは、この S O I 基板は、例えば N 型の導電性を有する単結晶シリコンからなる半導体基板 10 上に、例えば膜厚「1  $\mu\text{m}$ 」からなるシリコン酸化膜 20、例えば P 型の導電性を有して所定の膜厚（例えば「0.6 ~ 1.5  $\mu\text{m}$ 」）からなる単結晶シリコン膜 30 が積層されたものである。

#### 【0082】

次に、図 10 (b) に示す工程において、上記単結晶シリコン膜 30 にボロンを所定の濃度（例えば「 $1 \times 10^{20} \sim 2 \times 10^{20} \text{ cm}^{-3}$ 」）にて注入する。そして、不純物の注入された上記単結晶シリコン膜 30 を活性化すべく、所定温度（例えば「1150℃」）にて所定時間（例えば「2 時間」）の熱処理を行う。

#### 【0083】

次に、図 10 (c) に示す工程において、上記単結晶シリコン膜 30 を反応性イオンエッチングにてパターニングすることで、上流側温度計 R k a や、上流側ヒータ R h a、下流側ヒータ R h b、リード部 L 2、L 5 を形成する。なお、ここでは図示しないが、この工程においては、下流側温度計 R k b や、リード部 L 1、L 3、L 4、L 6 も形成する。

**【0084】**

このように、上流側ヒータ R h a 及び上流側温度計 R k a とを、また、下流側ヒータ R h b 及び下流側温度計 R k b とを同一工程にて形成することで、上流側ヒータ R h a 及び上流側温度計 R k a の抵抗温度係数や、下流側ヒータ R h b 及び下流側温度計 R k b の抵抗温度係数を簡易に一致させることができる。

**【0085】**

更に、図 10 (d) に示す工程において、低圧 C V D 法にてシリコン窒化膜 40 を例えば膜厚「 $1.5 \mu\text{m}$ 」にて堆積する。このときの成膜条件を以下に例示する。

**【0086】**

ガス流量比	$\text{SiH}_2\text{Cl}_2 : \text{NH}_3 = 4 : 1$
雰囲気温度	$850^\circ\text{C}$
圧力	$20\text{Pa}$

次に、図 11 (a) に示す工程において、シリコン窒化膜 40 を反応性イオンエッチングにてエッチングすることでコンタクトホール 41 を形成する。更に、図 11 (b) に示すように、メタル（例えばアルミニウム）を所定の膜厚（例えば「 $1.0 \mu\text{m}$ 」）に成膜した後、パターニングすることで上記コンタクトホール 41 に先の図 2 に示したパッド P 5 を形成する。なお、図 11 (a) ～図 11 (b) に示す工程においては、図示しないパッド P 1 ～P 4、P 6 も同様にして形成される。

**【0087】**

続いて、同図 11 (b) に示すように、半導体基板 10 の裏面側に、シリコン窒化膜 50 を、プラズマ C V D 法により所定の膜厚（例えば「 $1 \mu\text{m}$ 」）にて成膜する。更に、同図 11 (b) に示すように、先の図 2 に一点鎖線にて示した領域に対応した開口部を形成すべく、反応性イオンエッチングにてシリコン窒化膜 50 をエッチングする。

**【0088】**

更に、図 11 (c) に示すように、シリコン窒化膜 50 をマスクとして半導体基板 10 をエッチングすることで、半導体基板 10 に空洞部 H を形成する。これ

により、空洞部Hを架橋するように薄膜部MBが形成されることとなる。

#### 【0089】

なお、この図11(c)に示すエッチングは、以下のようにして行うことが望ましい。

A. エッチング液としてKOHやTMAH等のアルカリ性のエッチング液を用いたウェットエッチングとする。

B. 半導体基板10の裏面を単結晶シリコンの基本格子の等価な6面である  $\{100\}$  とする。

C. 上記シリコン窒化膜50の開口部を矩形にして形成すると共に、その各辺を結晶方位  $\langle 110 \rangle$  と一致させる。

#### 【0090】

これにより、半導体基板10を上記エッチング液により  $\{111\}$  面に沿ってエッチングすることができる。したがって、薄膜部MBを矩形に形成することができる。更に、この際、薄膜部MBの2つの辺を流通方向に直交させるような設定とすることも容易となる。

#### 【0091】

もっとも、薄膜部MBの形成に際しては、必ずしもウェットエッチングに限らず、ドライエッチングによって行うようにしてもよい。このようにドライエッチングを用いる場合には、少なくとも同ドライエッチングからの要請として半導体基板10の面方位が規定されることはない。

#### 【0092】

以上詳述した本実施形態によれば、以下の効果が得られるようになる。

(1) 上流側ヒータRha及び下流側ヒータRh bをボロンの注入された単結晶シリコンにて形成するとともに、その線幅を「 $7\mu\text{m} \sim 50\mu\text{m}$ 」に設定するようにした。これにより、その感度の向上や消費電力の抑制を図るとともに、高熱、長時間の使用による経時変化を抑制することができるようになる。

#### 【0093】

(2) 上流側ヒータRha及び下流側ヒータRh bの不純物濃度を、「 $1 \times 10^{20} \sim 2 \times 10^{20} \text{ cm}^{-3}$ 」とした。これにより、高熱、長時間の使用による経

時変化をいっそう好適に抑制することができるとともに、抵抗温度係数を高く保つことができることから、感度を高く保つこともできるようになる。

【0094】

(3) 上流側ヒータ R h a 及び下流側ヒータ R h b と同時に、上流側温度計 R k a、下流側温度計 R k b を形成した。これにより、上流側ヒータ R h a と上流側温度計 R k a との抵抗温度係数や、下流側ヒータ R h b と下流側温度計 R k b との抵抗温度係数を簡易に一致させることができる。

【0095】

(4) 上流側ヒータ R h a 及び下流側ヒータ R h b を鏡像対称且つサイズ同一の形状とすると共に、流体の流通方向に直交する方向であって且つこれら上流側ヒータ R h a 及び下流側ヒータ R h b を 2 分する中心線に対して対称に配置することで、流体の流量や流通方向の感知精度を向上させることができる。

【0096】

(5) 上流側ヒータ R h a 及び下流側ヒータ R h b と同時に、リード部 L 1 ～ L 6 を形成した。これにより、製造工数を低減させることができる。

(第2の実施形態)

次に、本発明にかかるフローセンサを車載用内燃機関の吸入空気量を検出するフローメータに適用した第2の実施形態について、先の第1の実施形態との相違点を中心に図面を参照しつつ説明する。

【0097】

図12は、本実施形態にかかる上流側ヒータ R h a を示す。本実施形態では、上流側ヒータ R h a や下流側ヒータ R h b には、便宜上、先の第1の実施形態のものと同一の符号を用いる。また、本実施形態においては、上流側ヒータ R h a と下流側ヒータ R h b とは鏡像対称であって且つサイズが同一であるために、図12では、上流側ヒータ R h a のみを示す。

【0098】

図12に示されるように、上流側ヒータ R h a は、電流の流通方向が少なくとも隣り合うもの同士で異なる複数の線路の直列接続体として形成されている。具体的には、図12では、リード部 L 3 から延びる上流側ヒータ R h a は、リード

部 L 2 付近に反転部 R V 1 を有してその電流の流通方向を一旦反転させる。更に、上流側ヒータ R h a は、リード部 L 3 付近に反転部 R V 2 を有してその電流の流通方向を再度反転させる。そして、上流側ヒータ R h a は、リード部 L 2 と接続されている。

#### 【0099】

このように反転部 R V 1、R V 2 を有することで、上流側ヒータ R h a の流体の流通方向に直交する方向の幅である敷設幅 W h は、その線幅 W よりも広く形成されることとなる。このように上流側ヒータ R h a の敷設幅を確保することで、流体の流通に際して上流側ヒータ R h a の放熱量を増大させることが可能となる。

#### 【0100】

しかも、上流側ヒータ R h a を反転部 R V 1、R V 2 を有して形成することで、上流側ヒータ R h a の電流の流通方向の長さを稼ぐことができ、その抵抗値を確保することもできる。このため、リード部 L 2、L 3 に対する上流側ヒータ R h a の抵抗値の比を大きくすることが容易となり、消費電力の低減や感度の向上を図ることが可能となる。

#### 【0101】

また、上流側ヒータ R h a は、先の第 1 の実施形態同様、ボロンの注入された単結晶シリコンからなるとともに、その線幅 W が「 $7\mu\text{m}$ 」以上に設定されている。ちなみに、上記反転部 R V 1、R V 2 についてもその電流の流通方向の幅（図中、縦方向の幅）が「 $7\mu\text{m}$ 」以上に設定されている。これにより、高熱、長時間の使用による経時変化の抑制を図る。なお、上記線幅 W は、「 $15\mu\text{m}$ 」以上とすることがより望ましい。

#### 【0102】

なお、図 12 においては、上記線幅 W を例えば「 $7\mu\text{m}$ 」とし、間の幅  $\Delta$  を例えば「 $5\mu\text{m}$ 」とし、敷設幅 W h を例えば「 $55\mu\text{m}$ 」とするなどする。

ちなみに、上流側ヒータ R h a 及び下流側ヒータ R h b は、上記第 1 の実施形態と同様、互いに鏡像対称且つサイズ同一の形状とすると共に、流体の流通方向に直交する方向であって且つこれら上流側ヒータ R h a 及び下流側ヒータ R h b

を 2 分する中心線に対して対称に配置する。これにより、流体の流量や流通方向の感知精度を向上させる。

#### 【0103】

以上説明した本実施形態によれば、先の第 1 の実施形態の上記 (1) ~ (5) の効果に加えて、更に以下の効果が得られるようになる。

(6) 上流側ヒータ R h a や下流側ヒータ R h b に反転部を備えることで、フローセンサ F S の感度をいっそう向上させることができるとともに、消費電力をいっそう抑制することができるようになる。

#### 【0104】

(第 3 の実施形態)

次に、本発明にかかるフローセンサを車載用内燃機関の吸入空気量を検出するフローメータに適用した第 3 の実施形態について、先の第 1 の実施形態との相違点を中心に図面を参照しつつ説明する。

#### 【0105】

図 13 は、本実施形態にかかる上流側ヒータ R h a を示す。本実施形態では、上流側ヒータ R h a や下流側ヒータ R h b には、便宜上、先の第 1 の実施形態のものと同一の符号を用いる。また、本実施形態においては、上流側ヒータ R h a と下流側ヒータ R h b とは鏡像対称且つサイズ同一の形状を有するために、図 13 では、上流側ヒータ R h a のみを示す。

#### 【0106】

図 13 に示されるように、上流側ヒータ R h a は、リード部 L 2 及びリード部 L 3 間において、複数の発熱抵抗体 h 1 ~ h 5 が並列接続されることで構成されている。

#### 【0107】

このように複数の発熱抵抗体 h 1 ~ h 5 を並列接続して上流側ヒータ R h a を構成することで、上流側ヒータ R h a の流体の流通方向に直交する方向の幅である敷設幅 W h は、各発熱抵抗体 h 1 ~ h 5 の線幅 W の和よりも広く形成されることとなる。このように上流側ヒータ R h a の敷設幅 W h を確保することで、流体の流通に際して上流側ヒータ R h a の放熱量を増大させることが可能となる。し

かも、この場合、電流の流通に供される幅は敷設幅よりも小さいために、上流側ヒータ R h a の抵抗値の低減を抑制することができる。

#### 【0108】

すなわち、敷設幅 W h の拡大によって放熱量を増大させつつも、リード部 L 2、L 3 に対する上流側ヒータ R h a の抵抗値の比を大きくすることが容易となる。したがって、放熱量の増大によってフローセンサ F S の感度の向上が図られるとともに、リード部 L 2、L 3 に対する上流側ヒータ R h a の抵抗値の比の増大によって消費電力の低減や感度の向上が図られる。

#### 【0109】

また、上流側ヒータ R h a の各発熱抵抗体 h 1 ~ h 5 は、先の第 1 の実施形態同様、ボロンの注入された単結晶シリコンからなるとともに、その線幅 W が「 $7\mu\text{m}$ 」以上に設定されている。これにより、高熱、長時間の使用による経時変化の抑制を図る。なお、上記線幅 W は、「 $15\mu\text{m}$ 」以上とすることがより望ましい。

#### 【0110】

ちなみに、上流側ヒータ R h a 及び下流側ヒータ R h b は、上記第 1 の実施形態と同様、互いに鏡像対称且つサイズ同一の形状とされると共に、流体の流通方向に直交する方向であって且つこれら上流側ヒータ R h a 及び下流側ヒータ R h b を 2 分する中心線に対して対称に配置する。これにより、流体の流量や流通方向の感知精度を向上させる。

#### 【0111】

以上説明した本実施形態によれば、先の第 1 の実施形態の上記 (1) ~ (5) に準じた効果に加えて、更に以下の効果が得られるようになる。

(7) 複数の発熱抵抗体を並列接続して上流側ヒータ R h a や下流側ヒータ R h b を構成することで、フローセンサ F S の感度をいっそう向上させることができるとともに、消費電力を抑制することができるようになる。

#### 【0112】

(第 4 の実施形態)

次に、本発明にかかるフローセンサを車載用内燃機関の吸入空気量を検出する

フローメータに適用した第4の実施形態について、先の第1の実施形態との相違点を中心に図面を参照しつつ説明する。

#### 【0113】

図14は、本実施形態にかかる上流側ヒータRhaを示す。本実施形態では、上流側ヒータRhaや下流側ヒータRh bには、便宜上、先の第1の実施形態のものと同一の符号を用いる。また、本実施形態においては、上流側ヒータRhaと下流側ヒータRh bとは同一の構成を有するために、図14では、上流側ヒータRhaのみを示す。

#### 【0114】

図14に示されるように、上流側ヒータRhaは、その流体の流通方向の幅である敷設幅Wh内で電流の流通を制限する6つの縮幅部を有し、該縮幅部の極小値Wmが「 $7\mu\text{m}$ 」以上に設定されるようにした。なお、この縮幅部の極小値Wmは、「 $15\mu\text{m}$ 」以上とすることがより望ましい。

#### 【0115】

このように、流体の流通方向の幅である敷設幅Whに対し、同方向における電流の流れに供される幅が小さくなる縮幅部を備えて形成することで、この電流の流れに供される幅を敷設幅Whと同一とした場合と比較して、その抵抗を大きくすることができる。このため、まず、敷設幅Whを広く設定することで上流側ヒータRhaの放熱量が増大される。そして、上流側ヒータRhaの抵抗値を確保することで、リード部L2、L3に対する上流側ヒータRhaの抵抗値の比が高められる。これらにより、フローセンサFSの感度の向上や消費電力の低減を図ることができる。

#### 【0116】

なお、図14に示す上流側ヒータRhaにおいて、図中横方向に電流が流れないように設定することが望ましい。これにより、上流側ヒータRhaの消費電力を低減することができる。

#### 【0117】

また、上流側ヒータRhaをボロンにて形成すると共に、該縮幅部の極小値Wm（電流の流通に供される幅の極小値）を「 $7\mu\text{m}$ 」以上に設定することで、高



温、長時間での使用環境に起因する経時変化を好適に抑制する。

#### 【0118】

ちなみに、上流側ヒータ R h a 及び下流側ヒータ R h b は、上記第 1 の実施形態と同様、互いに鏡像対称且つサイズ同一の形状とすると共に、流体の流通方向に直交する方向であって且つこれら上流側ヒータ R h a 及び下流側ヒータ R h b を 2 分する中心線に対して対称に配置する。これにより、流体の流量や流通方向の感知精度を向上させる。

#### 【0119】

以上説明した本実施形態によれば、先の第 1 の実施形態の上記 (1) ~ (5) に準じた効果に加えて、更に以下の効果が得られるようになる。

(8) 上流側ヒータ R h a や下流側ヒータ R h b を、その流体の流通方向の幅である敷設幅 W h 内で電流の流通を制限する 1 乃至複数の縮幅部を有して形成することで、フローセンサ F S の感度の向上や消費電力の抑制を図ることができるようになる。

#### 【0120】

(第 5 の実施形態)

次に、本発明にかかるフローセンサを車載用内燃機関の吸入空気量を検出するフローメータに適用した第 5 の実施形態について、先の第 1 の実施形態との相違点を中心に図面を参照しつつ説明する。

#### 【0121】

図 15 は、本実施形態にかかる薄膜部 M B の構成を示す。同図 15 において、薄膜部 M B や、上流側ヒータ R h a 、下流側ヒータ R h b には、便宜上、先の第 1 の実施形態のものと同一の符号を付した。

#### 【0122】

図 15 に示されるように、上流側ヒータ R h a や下流側ヒータ R h b には、先の図 4 に示したシリコン窒化膜 40 よりも熱伝導性の高い熱伝導部材が、電流の流れないダミーパターン D P 1、D P 2 として設けられている。詳しくは、ダミーパターン D P 1、D P 2 は、シリコン窒化膜 40 によってその周囲を覆われることで、電氣的に絶縁されている。

**【0123】**

このようにダミーパターンDP1、DP2を設けることで、上流側ヒータRhaや下流側ヒータRh bからの放熱量を上昇させることができる。したがって、流体によって奪われる熱量を上昇させることができることから、上流側ヒータRhaや下流側ヒータRh bで消費される電力量をこれらの線幅の割に増大させることができる。したがって、流体に対するフローセンサの感度を向上させることができるようになる。

**【0124】**

しかも、ダミーパターンDP1、DP2は、電流が流れない態様にて形成されるために、同ダミーパターンDP1、DP2にて電力が消費されることはない。このため、フローセンサFSの消費電力の上昇を回避しつつも、その感度を高めることができる。

**【0125】**

更に、ダミーパターンDP1は、上流側ヒータRhaに近接した領域のうち、上流側ヒータRha及び下流側ヒータRh b間の領域と対向する領域側に配置される。これにより、ダミーパターンDP1は、上流側ヒータRhaの生じる熱をその上流側に放熱させることとなる。このため、上流側ヒータRhaは、上流側での流体の流通状態に応じてその放熱量を迅速に変化させることとなる。

**【0126】**

また、ダミーパターンDP2は、下流側ヒータRh bに近接した領域のうち、上流側ヒータRha及び下流側ヒータRh b間の領域と対向する領域側に配置される。これにより、ダミーパターンDP2は、下流側ヒータRh bの生じる熱をその下流側に放熱させることとなる。このため、下流側ヒータRh bは、下流側での流体の流通状態に応じてその放熱量を迅速に変化させることとなる。

**【0127】**

以上のように、ダミーパターンDP1、DP2を図15のように配置することによって、流体の流量及び流体の流通方向に対する応答性を向上させることが可能となる。

**【0128】**

なお、これらダミーパターンDP 1、DP 2は、互いに鏡像対称且つサイズ同一の形状を有すると共に、上流側ヒータR h a及び下流側ヒータR h b間を分離する中心線に対して線対称に配置することが望ましい。これにより、流通方向の感知精度を向上させることができる。

#### 【0 1 2 9】

また、上流側ヒータR h aや下流側ヒータR h bは、先の第1の実施形態同様、ボロンの注入された単結晶シリコンからなるとともに、その線幅Wが「 $7\mu\text{m}$ 以上」に設定されている。これにより、高熱、長時間の使用による経時変化の抑制を図る。なお、この線幅Wは、「 $15\mu\text{m}$ 」以上とすることがより望ましい。

#### 【0 1 3 0】

更に、これら上流側ヒータR h aや下流側ヒータR h bをはじめ、リード部L 1～L 6、ダミーパターンDPは、同一の材料から同一工程において形成される。このため、ダミーパターンDP 1、DP 2の熱抵抗を十分に低下させる設定が容易となり、同ダミーパターンDP 1、DP 2の熱伝導性を好適に確保することができる。以下、これについて図16を参照しつつ説明する。

#### 【0 1 3 1】

図16は、アルミニウム(A l)、タングステン(W)、白金(P t)、銅(C u)、不純物の注入されたシリコン(S i)についての熱伝導率 $k$ や電気抵抗率 $\rho$ 等を示す図である。なお、これら熱伝導率 $k$ や電気抵抗率 $\rho$ 等の特性は、温度「 $0^{\circ}\text{C}$ 」のものであるが、シリコンに関しては便宜上「 $300\text{K}$ 」となっている。また、シリコンの不純物濃度は、「 $1\times 10^{20}\text{cm}^{-3}$ 」としてある。

#### 【0 1 3 2】

同図16に示されるように、シリコンは、熱伝導率 $k$ については金属とさほど変わらないが、電気抵抗率 $\rho$ については金属よりも大きなものとなっている。このため、上流側ヒータR h aや下流側ヒータR h b、リード部L 1～L 6の線幅等、平面的なパターンが規定されている場合、シート抵抗を所定の値にするためには、これらをシリコンで形成する方が金属で形成するよりも膜厚が厚くなる。このため、これらと同一工程にて形成されるダミーパターンDP 1、DP 2についてもその膜厚が厚くなることなどから、ダミーパターンDP 1、DP 2の熱抵抗

は、これらをシリコンで形成した方が金属で形成するよりも小さくなる。以下、これについて更に説明する。

#### 【0133】

ダミーパターンDP1、DP2の長さy、線幅w、膜厚dとすると、熱抵抗TRは、下式(c1)となる。

$$TR = y / kwd \quad \cdots (c1)$$

また、ダミーパターンDP1、DP2の膜厚と同一の膜厚を有する上流側ヒータRhaや下流側ヒータRh bのシート抵抗SRは、下式(c2)となる。

#### 【0134】

$$SR = \rho / d \quad \cdots (c2)$$

上式(c1)及び(c2)より、膜厚dを消去すると、熱抵抗TRは下式(c3)となる。

#### 【0135】

$$TR = (1 / k\rho) \times (y \times SR) / w \quad \cdots (c3)$$

したがって、シート抵抗SRや、線幅w、長さy等が固定されているとすると、ダミーパターンDP1、DP2の熱抵抗TRは、 $(1 / k\rho)$ に比例することとなる。したがって、 $(1 / k\rho)$ が小さい部材ほどダミーパターンDP1、DP2の熱抵抗を低下させることが、換言すれば熱伝導性を向上させることができる。そして、図16に示されるように、シリコンは金属と比較して $(1 / k\rho)$ が小さなものとなっている。

#### 【0136】

したがって、これらダミーパターンDP1、DP2を金属で形成した場合と比較して、その熱伝導性を十分に高めることができる。

以上説明した本実施形態によれば、先の第1の実施形態の上記(1)～(5)に準じた効果に加えて、更に以下の効果が得られるようになる。

#### 【0137】

(9) 上流側ヒータRhaや下流側ヒータRh bに、電流の流れないダミーパターンDP1、DP2を設けた。これにより、フローセンサFSの感度の向上や消費電力の抑制を図ることができるようになる。

**【0138】**

(10) ダミーパターンDP1を上流側ヒータRhaよりも上流側に、ダミーパターンDP2を下流側ヒータRh bよりも下流側に配置した。これにより、流体の流量及び流体の流通方向に対する応答性を向上させることが可能となる。

**【0139】**

(11) 上流側ヒータRhaや下流側ヒータRh bをはじめ、リード部L1～L6、ダミーパターンDPを、同一の材料から同一工程において形成した。このため、ダミーパターンDP1、DP2の熱抵抗を十分に低下させる設定が容易となり、同ダミーパターンDP1、DP2の熱伝導性を好適に確保することができるようになる。

**【0140】**

(第6の実施形態)

次に、本発明にかかるフローセンサを車載用内燃機関の吸入空気量を検出するフローメータに適用した第6の実施形態について、先の第5の実施形態との相違点を中心に図面を参照しつつ説明する。

**【0141】**

図17は、本実施形態にかかる上流側ヒータRhaを示す。本実施形態では、上流側ヒータRhaや下流側ヒータRh bには、便宜上、先の第5の実施形態のものと同一の符号を用いる。また、本実施形態においては、上流側ヒータRhaと下流側ヒータRh bとは鏡像対称且つサイズ同一の構成を有するために、図17では、上流側ヒータRhaのみを示す。

**【0142】**

図17に示されるように、本実施形態においても、上流側ヒータRhaには、先の図4に示したシリコン窒化膜40よりも熱伝導性の高い熱伝導部材が、電流の流れないダミーパターンDP1として設けられている。ただし本実施形態では、ダミーパターンDP1は、単結晶シリコンからなる熱連結線qc1を介して、上流側ヒータRhaと一カ所で接続されるようにした。

**【0143】**

このように、熱連結線qc1を用いてダミーパターンDP1を上流側ヒータR

h a と接続させることで、ダミーパターン D P 1 の温度がただちに上流側ヒータ R h a の温度に追従するようになり、応答性を向上させることができる。

#### 【0144】

更に、各ダミーパターン D P 1 は、上流側ヒータ R h a と単一の熱連結線 q c 1 で接続されるようにした。これにより、熱連結線 q c 1 を介してダミーパターン D P 1 へ電流が流入することはなく、同ダミーパターン D P 1 によって電力が消費されることを回避することができる。

#### 【0145】

なお、上流側ヒータ R h a 及び下流側ヒータ R h b のそれぞれに対応した熱連結線は、互いに鏡像対称且つ同一サイズであり、且つ、流体の流通方向に直交する線であって、これら上流側ヒータ R h a 及び下流側ヒータ R h b の中心線に対して線対称となるように配置することが望ましい。

#### 【0146】

以上説明した本実施形態によれば、先の第 1 の実施形態の上記（１）～（５）や、先の第 5 の実施形態の上記（９）～（１１）の効果に準じた効果に加えて、更に以下の効果が得られるようになる。

#### 【0147】

（１２）上流側ヒータ R h a や下流側ヒータ R h b とダミーパターン D P 1、D P 2 とを熱連結線にて接続させた。これにより、ダミーパターン D P 1 の温度がただちに上流側ヒータ R h a の温度に追従するようになり、応答性を向上させることができる。

#### 【0148】

（第 7 の実施形態）

次に、本発明にかかるフローセンサを車載用内燃機関の吸入空気量を検出するフローメータに適用した第 7 の実施形態について、先の第 5 の実施形態との相違点を中心に図面を参照しつつ説明する。

#### 【0149】

図 18 は、本実施形態にかかる上流側ヒータ R h a を示す。本実施形態では、上流側ヒータ R h a や下流側ヒータ R h b には、便宜上、先の第 5 の実施形態の

ものと同一の符号を用いる。また、本実施形態においては、上流側ヒータ R h a と下流側ヒータ R h b とは同一の構成を有するために、図 1 8 では、上流側ヒータ R h a のみを示す。

#### 【0 1 5 0】

図 1 8 に示されるように、本実施形態においても、上流側ヒータ R h a には、先の図 4 に示したシリコン窒化膜 4 0 よりも熱伝導性の高い熱伝導部材が、電流の流れないダミーパターン D P 3 ~ D P 8 として設けられている。ただし本実施形態では、ダミーパターン D P 3 ~ D P 8 を、上流側ヒータ R h a と図中破線で示す部分で接続されて且つ、同上流側ヒータ R h a の線幅方向に延設されるかたちで設けられている。

#### 【0 1 5 1】

これにより、上流側ヒータ R h a の生じる熱がダミーパターン D P 3 ~ D P 8 へと迅速に伝わるために、ダミーパターン D P 3 ~ D P 8 の温度がただちに上流側ヒータ R h a の温度に追従するようになり、応答性を向上させることができる。しかも、各ダミーパターン D P 3 ~ D P 8 は、上流側ヒータ R h a と一カ所で接しているため、各ダミーパターン D P 3 ~ D P 8 への電流の流入はなく、同ダミーパターン D P 3 ~ D P 8 によって電力が消費されることを回避することができる。

#### 【0 1 5 2】

なお、これらダミーパターンは、互いに鏡像対称且つサイズ同一の形状を有すると共に、上流側ヒータ R h a 及び下流側ヒータ R h b 間を分離する中心線に対して線対称に配置することが望ましい。

#### 【0 1 5 3】

以上説明した本実施形態によれば、先の第 1 の実施形態の上記 ( 1 ) ~ ( 5 ) や、先の第 5 の実施形態の上記 ( 9 ) ~ ( 1 1 ) の効果に準じた効果に加えて、更に以下の効果が得られるようになる。

#### 【0 1 5 4】

( 1 3 ) ダミーパターン D P 3 ~ D P 8 を、上流側ヒータ R h a と図中破線で示す部分で接続されて且つ、同上流側ヒータ R h a の線幅方向に延設されるかた

ちで設けた。これにより、上流側ヒータ R h a の放熱をいっそう促進することができ、ひいては、流体に対するフローセンサ F S の感度をいっそう向上させることができるようになる。

#### 【0155】

(第8の実施形態)

次に、本発明にかかるフローセンサを車載用内燃機関の吸入空気量を検出するフローメータに適用した第8の実施形態について、先の第5の実施形態との相違点を中心に図面を参照しつつ説明する。

#### 【0156】

図19は、本実施形態にかかる上流側ヒータ R h a を示す。本実施形態では、上流側ヒータ R h a や下流側ヒータ R h b には、便宜上、先の第5の実施形態のものと同一の符号を付した。また、本実施形態においては、上流側ヒータ R h a と下流側ヒータ R h b とは鏡像対称且つサイズ同一であるため、図19では、上流側ヒータ R h a のみを示す。

#### 【0157】

同図19に示すように、上流側ヒータ R h a に近接して、先の図4に示したシリコン窒化膜40よりも熱伝導性の高い部材であるダミーパターン（熱伝導部材）DP9～DP12を形成した。ここで、ダミーパターンDP9～DP12も単結晶シリコンにて形成されている。更に、ダミーパターンDP9～DP12と上流側ヒータ R h a とを単結晶シリコンからなる複数の熱連結線 q c 2～q c 9にて接続するとともに、これら各熱連結線 q c 2～q c 9とDP9～DP12との接点を互いに同電位となるようにした。

#### 【0158】

詳しくは、上流側ヒータ R h a は、並列に接続される2本の発熱抵抗体 h 6、h 7と、これら発熱抵抗体 h 6、h 7を結ぶ単結晶シリコンからなる結線 c 1～c 3とを備えて構成されている。そして、リード部 L 2 及び結線 c 1 間にダミーパターン DP 9 が、結線 c 1 及び結線 c 2 間にダミーパターン DP 10 が、結線 c 2 及び結線 c 3 間にダミーパターン DP 11 が、結線 c 4 及びリード部 L 3 間にダミーパターン DP 12 がそれぞれ配置されている。



**【0 1 5 9】**

そして、ダミーパターンDP 9は、熱連結線qc 2を介して発熱抵抗体h 6と接続され、また熱連結線qc 3を介して発熱抵抗体h 7と接続されている。そして、これら熱連結線qc 2、qc 3とダミーパターンDP 9との接続点における電位は互いに等しくなるように設定されている。なお、ダミーパターンDP 10～DP 12と熱連結線qc 4～qc 9との関係についても、ダミーパターンDP 9と熱連結線qc 2、qc 3との関係と同様であるためその説明を割愛する。

**【0 1 6 0】**

こうした構成により、上流側ヒータR h aからの放熱量を増大させることができる。したがって、流体によって奪われる熱量を増大させることができ、上流側ヒータR h aで消費される電力量を増大させることができる。このため、流体に対するフローセンサF Sの感度を向上させることができるようになる。

**【0 1 6 1】**

しかも、各熱連結線qc 2～qc 9とダミーパターンDP 9～DP 12との接点相互に同電位となるように配置することで、ダミーパターンDP 9～DP 12中を電流が流れることはなく、同ダミーパターンDP 9～DP 12にて電力が消費されることはない。このため、フローセンサF Sの消費電力の上昇を回避しつつも、その感度を高めることができる。

**【0 1 6 2】**

なお、上記結線c 1～c 3についてもこれに電流が流れないようにしてもよい。この場合、これら結線c 1～c 3は、上記ダミーパターンと同様の機能を有する。

**【0 1 6 3】**

以上説明した本実施形態によれば、先の第1の実施形態の上記(1)～(5)や、先の第5の実施形態の上記(9)～(11)の効果に準じた効果に加えて、更に以下の効果が得られるようになる。

**【0 1 6 4】**

(14) ダミーパターンDP 9～DP 12と上流側ヒータR h aとを複数の熱連結線qc 2～qc 9にて接続するとともに、これら各熱連結線qc 2～qc 9

とDP9～DP12との接点を互いに同電位となるように配置した。これにより、上流側ヒータRhaの放熱をいっそう促進することができ、ひいては、流体に対するフローセンサFSの感度をいっそう向上させることができるようになる。

#### 【0165】

ここで、上記各実施形態において、上流側ヒータRha及び下流側ヒータRh bをボロンの注入された単結晶シリコンにて形成したメリットについて更に検討する。

#### 【0166】

図20(a)～図20(d)に、上述した特許文献1に記載の発熱体の形状を示す。これら各発熱体の敷設幅Whは、「 $100\mu\text{m}$ 」に設定されている。そして、これら各発熱体は、リンの注入された単結晶シリコンにて形成されたものである。図21に、図20(a)～図20(d)に示した発熱体について、これを所定の高温にて保持した場合の保持時間に対する抵抗変化率の関係を示す。同図21に示されるように、保持時間が長くなるほど、抵抗変化率が上昇することがわかる。

#### 【0167】

これに対し、上記各実施形態では、ボロンの注入された単結晶シリコンを用いると共に、その最小線幅を「 $7\mu\text{m}$ 」以上とすることで、抵抗変化率を好適に抑制している。

#### 【0168】

なお、上記各実施形態は、以下のように変更して実施してもよい。

・上記各実施形態において、ボロンの注入量は、「 $1\times 10^{20}\sim 2\times 10^{20}\text{cm}^{-3}$ 」に限らない。

#### 【0169】

・上記第2の実施形態において、上流側ヒータRhaや下流側ヒータRh bの形状は、先の図12に示したものに限らない。例えば図22に例示するようなものであってもよい。この図22においては、上流側ヒータRhaや下流側ヒータRh bが、反転部を4つ有して構成されている。なお、上流側ヒータRha及び下流側ヒータRh bは、流体の流通方向に直交する線であってこれらを分離する

中心線に対して線対称な形状とすることが望ましい。

【0170】

・上記第3の実施形態において、上流側ヒータ R h a や下流側ヒータ R h b を構成する発熱抵抗体の数は2以上の任意の数でよい。

・上記第4の実施形態において、上流側ヒータ R h a や下流側ヒータ R h b の形状は、その流体の流通方向の幅である敷設幅内で電流の流通を制限する1乃至複数の縮幅部を有し、該縮幅部の極小値が「 $7\mu\text{m}$ 」以上に設定する範囲で適宜変更してよい。

【0171】

・上記第5の実施形態において、ダミーパターンの形状及びその数は任意でよい。すなわち、例えば図23(a)に上流側ヒータ R h a について例示するように、同上流側ヒータ R h a の上流側及び下流側にそれぞれダミーパターン D P を配置してもよい。また、例えば図23(b)に上流側ヒータ R h a について例示するように、先の図19において熱連結線 q c 2 ~ q c 9 を除いた構成としてもよい。更に、例えば図23(c)及び図23(d)に上流側ヒータ R h a について例示するように、反転部を備える上流側ヒータ R h a に近接していくつかのダミーパターン D P を配置する構成としてもよい。なお、上流側ヒータ R h a 及び下流側ヒータ R h b とこれらに対応する各ダミーパターン D P とは、流体の流通方向に直交する線であって上流側ヒータ R h a 及び下流側ヒータ R h b を分離する中心線に対して線対称な形状とすることが望ましい。

【0172】

・上記第6の実施形態において、ダミーパターンの形状及びその数は任意でよい。すなわち、例えば図24(a)~図24(c)に上流側ヒータ R h a について例示するように、反転部を有して構成される上流側ヒータ R h a といくつかのダミーパターン D P とを熱連結線 q c にて接続するようにしてもよい。なお、上流側ヒータ R h a 及び下流側ヒータ R h b とこれらに対応するダミーパターン D P 、熱連結線 q c とは、流体の流通方向に直交する線であって上流側ヒータ R h a 及び下流側ヒータ R h b を分離する中心線に対して線対称な形状とすることが望ましい。

## 【0173】

・上記第7の実施形態において、ダミーパターンの形状や、その数、上流側ヒータ R h a や下流側ヒータ R h b の形状等は任意でよい。なお、上流側ヒータ R h a 及び下流側ヒータ R h b とこれらに対応する各ダミーパターン D P とは、流体の流通方向に直交する線であって上流側ヒータ R h a 及び下流側ヒータ R h b を分離する中心線に対して線対称な形状とすることが望ましい。

## 【0174】

・上記第8の実施形態において、ダミーパターンや熱連結線の形状や、その数、上流側ヒータ R h a や下流側ヒータ R h b の形状等は任意でよい。なお、上流側ヒータ R h a 及び下流側ヒータ R h b とこれらに対応するダミーパターン D P 、熱連結線 q c とは、流体の流通方向に直交する線であって上流側ヒータ R h a 及び下流側ヒータ R h b を分離する中心線に対して線対称な形状とすることが望ましい。

## 【0175】

・上記第5～第8の実施形態におけるダミーパターン D P は、必ずしも上流側ヒータ R h a 及び下流側ヒータ R h b に対して対称に備えられていなくても、先の第5の実施形態の上記(9)の効果をj得ることはできる。

## 【0176】

・上記第5～第8の実施形態及びそれらの変形例において、ダミーパターン D P は、必ずしも上流側ヒータ R h a 及び下流側ヒータ R h b と同一の工程において製造されなくてもよい。また、同ダミーパターン D P は、必ずしも上流側ヒータ R h a 及び下流側ヒータ R h b と同一の材料でなくてもよい。すなわち、例えばダミーパターン D P を金属にて形成してもよい。更に、上流側ヒータ R h a 及び下流側ヒータ R h b を、多結晶シリコンや金属にて形成してもよい。

## 【0177】

更に、上流側ヒータ R h a や下流側ヒータ R h b の線幅（又は電流の流通に供される極小値）を「 $7\mu\text{m}\sim 50\mu\text{m}$ 」としなくとも、上記第5の実施形態の上記(9)の効果をj得ることはできる。

## 【0178】

加えて、上流側ヒータ R h a や下流側ヒータ R h b、ダミーパターン等を半導体で形成する場合には、注入する不純物はボロンに限らない。これによっても、上記第 5 の実施形態の上記 (9) の効果を得ることはできる。

#### 【0179】

・上記第 1 ～第 4 の実施形態において、P 型の半導体としては、ボロンの注入された単結晶シリコンに限らず、例えばインジウムの注入されたシリコンであってもよい。

#### 【0180】

・上記各実施形態においては、発熱体と該発熱体の近傍（発熱体自身又は発熱体の付近）の温度を感知する感温体とを、上流側ヒータ R h a や下流側ヒータ R h b のように同一とした。そして、発熱体自身によって感知される温度を所定の温度とするとともに、このときの発熱体の消費電力に基づき流体の流量を感知した。しかし、これら発熱体と該発熱体の近傍の温度を感知する感温体とを別部材としてもよい。この場合、例えば上記感温体によって感知される発熱体付近の温度を所定の温度とするように発熱体を制御するとともに、このときの発熱体の消費電力に基づいて流量を感知するようにしてもよい。

#### 【0181】

・当該フローメータ F M の環境温度を感知する上流側温度計 R k a や下流側温度計 R k b をフローセンサ F S に備える構成とする代わりに、信号生成回路 S G に備える構成としてもよい。この場合であれ、上流側ヒータ R h a と上流側温度計 R k a との抵抗温度係数や、下流側ヒータ R h b と下流側温度計 R k b との抵抗温度係数は、互いに一致させるようにする。

#### 【0182】

・上流側ヒータ R h a や下流側ヒータ R h b を備えなくても、単一の発熱体、及び該発熱体の近傍の温度を感知する感温体を備える構成であっても、発熱体によって消費される電力量等に基づいて流体の流量を感知することはできる。

#### 【0183】

・発熱体と、該発熱体の近傍の温度を感知する感温体とを備えて流体の流量を感知するフローセンサとしては、上記各実施形態やそれらの変形例に記載のもの

にも限らない。例えば、上記特許文献1に記載のように、発熱体自身を第2の感温体としてこれによって自身の温度を感知しつつ発熱体を所定に制御するとともに、この付近の温度を上記感温体によって感知し、これに基づいて発熱体の生じる熱量のうち流体によって奪われた熱量を感知する構成としてもよい。

#### 【0184】

こうした構成にあっても、上記第5～第8の実施形態やそれらの変形例に記載したダミーパターン（熱伝導部材）を設けることで、フローセンサの応答性を向上させることができる。すなわち、熱伝導部材は熱抵抗が小さいため、熱伝導部材によって発熱体の熱が感温体へと迅速に伝達されるようになる。このため、流体の流量や流速が急激に変化したとしても、この変化は熱伝導部材を通じて速やかにフローセンサの温度分布に反映されることとなる。これにより、感温体ではこの温度変化を速やかに感知することができるようになる。したがって、フローセンサの応答性を向上させることができる。更に、この際、発熱体及び熱伝導部材を同一の材料であるシリコンで形成することで、これらを同一工程にて形成することができるとともに、熱伝導部材の熱伝導性を高く維持することができる。

#### 【0185】

・薄膜部MB等のサイズについては、上記各実施形態及びそれらの変形例において例示したものに限らない。例えば、薄膜部MBのサイズを「1.0mm×1.0mm」以下、薄膜部MB及び上記パッドP1～P6間の長さを「2.5～4.5mm」としてもよい。こうした設定によっては、上流側ヒータRhaや下流側ヒータRh bの線幅Wの最大値をある程度拡大することができる。しかし、線幅Wの増大は、放熱量の増大につながり、その結果、これら上流側ヒータRhaや下流側ヒータRh bに供給する電力量の増大を招くこととなる。以下、これについて説明する。

#### 【0186】

図25は、長さ「400 $\mu$ m」の発熱体の線幅と放熱量との関係を示すものである。同図25に示されるように、線幅が増大するほど放熱量は増大する。これは、線幅が増大するにつれて放熱面積が増大するためである。一方、図26に、上記発熱体の放熱量と必要電圧との関係を示す。同図26に示されるように、放

熱量が増大するほど必要電圧が増大する。そして、これら長さ「 $400\mu\text{m}$ 」の発熱体の線幅、放熱量、要求される電圧の関係を図27に示す。同図27に示されるように、発熱体の線幅の増大は、同発熱体に対する印加電圧として要求される電圧値の増大を招くこととなる。

#### 【0187】

そして、例えば車載バッテリーとして安定供給可能な電圧が「 $12\text{V}$ 」以下であるとする、この電圧値にて駆動可能な発熱体の線幅の最大値は約「 $80\mu\text{m}$ 」となる。なお、線幅の増加による放熱量の増加を抑制すべく、発熱体の長さを「 $400\mu\text{m}$ 」以下とすることも考えられる。しかし、この場合、発熱体と接続されるリード部との抵抗比が低下することとなる。更に、発熱体の長さが十分でなくなるため、発熱体の端部からの熱の逃げの影響を受けやすくなり、発熱体全体の平均温度を所定の温度とするための消費電力がかえって大きくなる。

#### 【0188】

以上から、上流側ヒータ  $R_{ha}$  や下流側ヒータ  $R_{hb}$  の線幅は、「 $7\mu\text{m} \sim 80\mu\text{m}$ 」とすることが望ましい。

なお、上記各実施形態の変形例として示したように、フローセンサによっては、発熱体と感温体とを別部材とする構成もあり得る。しかし、この場合であれ、上記第1の実施形態で示した理由等により、感温体についてもその線幅の最大値は、発熱体の線幅の最大値以下に設定することが望ましい。

#### 【0189】

・薄膜部MBの構造としては、図2等に例示されているものに限らない。例えば薄膜部MBを矩形状に形成しつつその2辺のみが半導体基板上の薄膜と接続されるようにしてもよい。また、薄膜部MBの形状は、矩形に限らない。また、薄膜部MBを矩形としつつも、半導体基板の裏面の開口部の形状が矩形でないようなものでもよい。これは、先の図11(c)に示した工程において、上述したBの条件の代わりに、半導体基板10の裏面を{110}面とする条件を適用することで形成される。

#### 【0190】

・吸気通路内へのフローメータFMの配置態様については、先の図3に例示し

たものに限らない。例えば、フローセンサ F S の裏側も吸気通路内に露出させてもよい。

#### 【0 1 9 1】

・その他、フローセンサ F S の構成としては、発熱体と、該発熱体の近傍の温度を感知する感温体とを備える限りにおいて、適宜変更してよい。すなわち例えば、例えば薄膜部 M B を構成する絶縁膜としては、シリコン酸化膜や、シリコン窒化膜に限らず、これ以外の絶縁膜を用いてもよい。

#### 【0 1 9 2】

・更に、フローセンサ F S の製造方法としても、先の図 1 0 及び図 1 1 に例示する工程によるものに限らない。例えば、先の図 1 0 ( b ) 及び図 1 0 ( c ) に示した工程において、上流側ヒータ R h a や下流側ヒータ R h b 等のパターンニングした後、不純物の注入を行うなどしてもよい。また例えば、半導体薄膜への不純物の注入は、イオン注入法に限らず、気相から半導体中へドーパント原子（不純物）を拡散させる手法や、ドーパント原子（不純物）のドーピングされた酸化膜ソースを使って表面から半導体中へ上記ドーパント原子（不純物）を拡散させる手法等でもよい。

#### 【0 1 9 3】

・フローセンサ F S としては、車載用内燃機関の吸入空気量を検知するものに限らず、適宜の流体の流量を検知するものであればよい。

#### 【図面の簡単な説明】

【図 1】第 1 の実施形態にかかるフローメータの回路図。

【図 2】同実施形態にかかるフローセンサの構成を示す平面図。

【図 3】同実施形態にかかるフローメータの配置態様を示す図。

【図 4】同実施形態にかかるフローセンサの断面構成を示す断面図。

【図 5】ボロンの注入されたシリコン抵抗体の経時変化を示す図。

【図 6】ボロンの注入されたシリコン抵抗体について、その不純物濃度と経時変化との関係を示す図。

【図 7】ボロンの注入されたシリコン抵抗体について、その不純物濃度と抵抗温度係数との関係を示す図。



【図 8】 リンの注入されたシリコン抵抗体の経時変化を示す図。

【図 9】 上記実施形態にかかる薄膜部の構成を示す平面図。

【図 1 0】 同実施形態にかかるフローセンサの製造工程を示す断面図。

【図 1 1】 同実施形態にかかるフローセンサの製造工程を示す断面図。

【図 1 2】 第 2 の実施形態の上流側ヒータの構成を示す平面図。

【図 1 3】 第 3 の実施形態の上流側ヒータの構成を示す平面図。

【図 1 4】 第 4 の実施形態の上流側ヒータの構成を示す平面図。

【図 1 5】 第 5 の実施形態の薄膜部の構成を示す平面図。

【図 1 6】 シリコンや金属の特性を示す図。

【図 1 7】 第 6 の実施形態の上流側ヒータの構成を示す平面図。

【図 1 8】 第 7 の実施形態の上流側ヒータの構成を示す平面図。

【図 1 9】 第 8 の実施形態の上流側ヒータの構成を示す平面図。

【図 2 0】 リンの注入されたシリコン抵抗体の構造を示す平面図。

【図 2 1】 上記リンの注入されたシリコン抵抗体の経時変化の特性を示す図

。

【図 2 2】 上記第 2 の実施形態の変形例を示す平面図。

【図 2 3】 上記第 5 の実施形態の変形例を示す平面図。

【図 2 4】 上記第 6 の実施形態の変形例を示す平面図。

【図 2 5】 発熱体の線幅と放熱量との関係を示す図。

【図 2 6】 発熱体の放熱量と同発熱体に印加される電圧との関係を示す図。

【図 2 7】 発熱体の線幅と放熱量、印加電圧との関係を示す図。

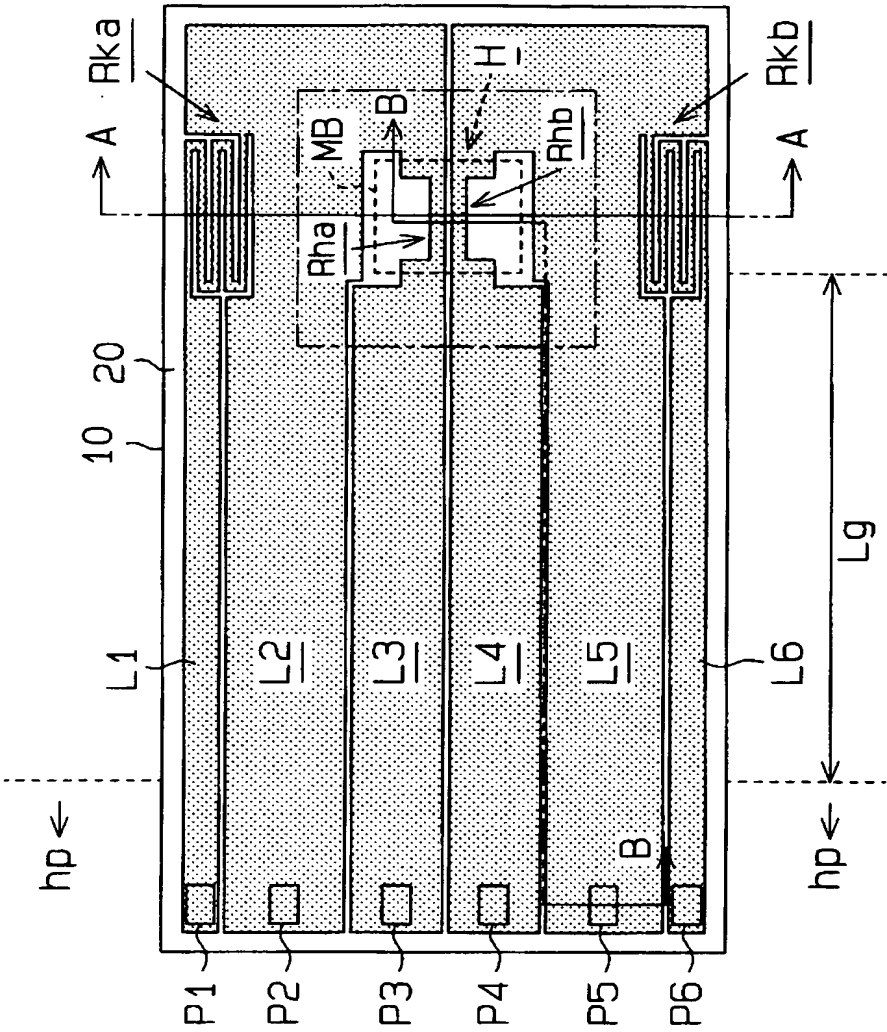
【図 2 8】 従来のフローセンサの構造を示す平面図。

【符号の説明】

1 0…半導体基板、2 0…シリコン酸化膜、3 0…単結晶シリコン膜、4 0…シリコン窒化膜、4 1…コンタクトホール、5 0…シリコン窒化膜、R h a…上流側ヒータ、R h b…下流側ヒータ。

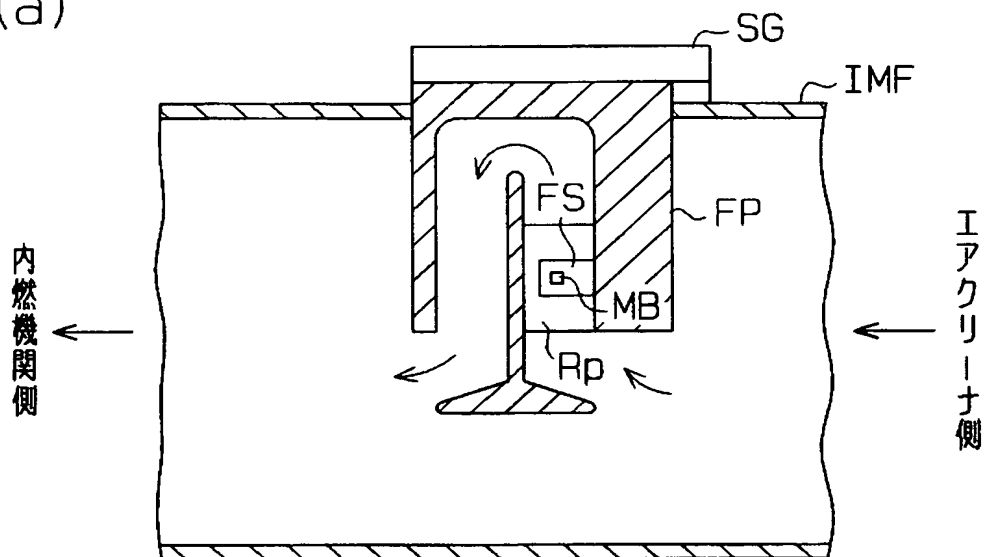


【図 2】

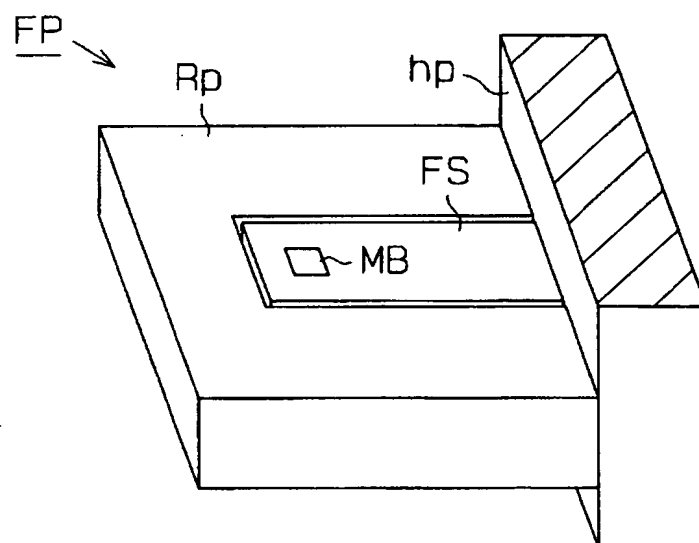


【図 3】

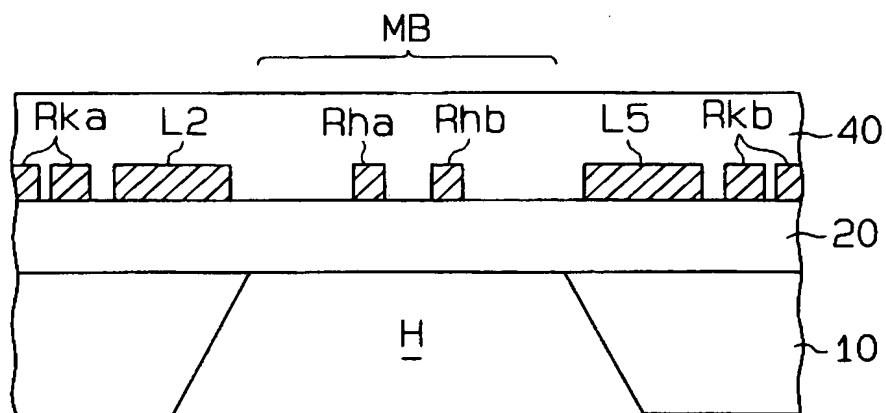
(a)



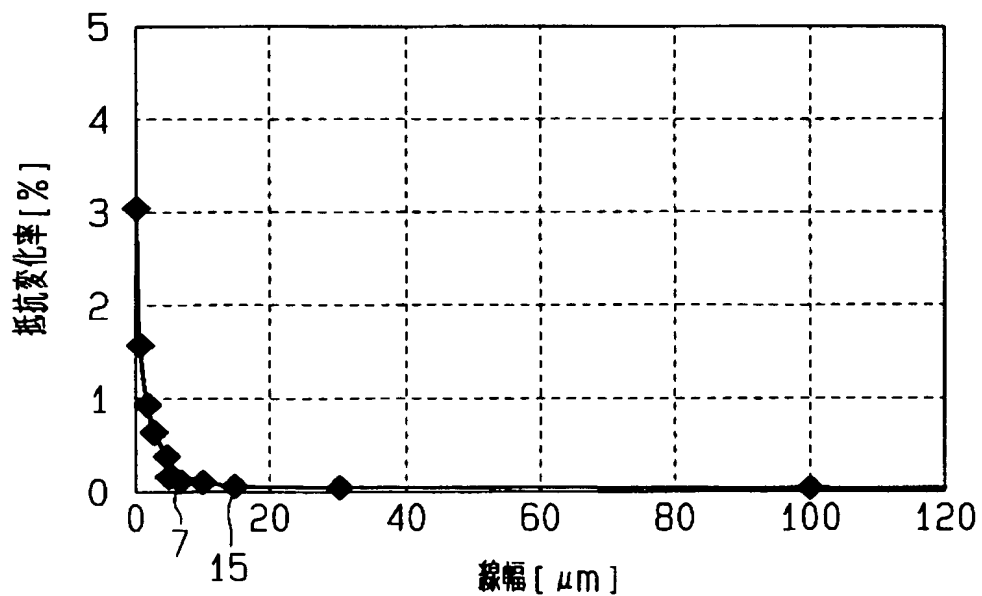
(b)



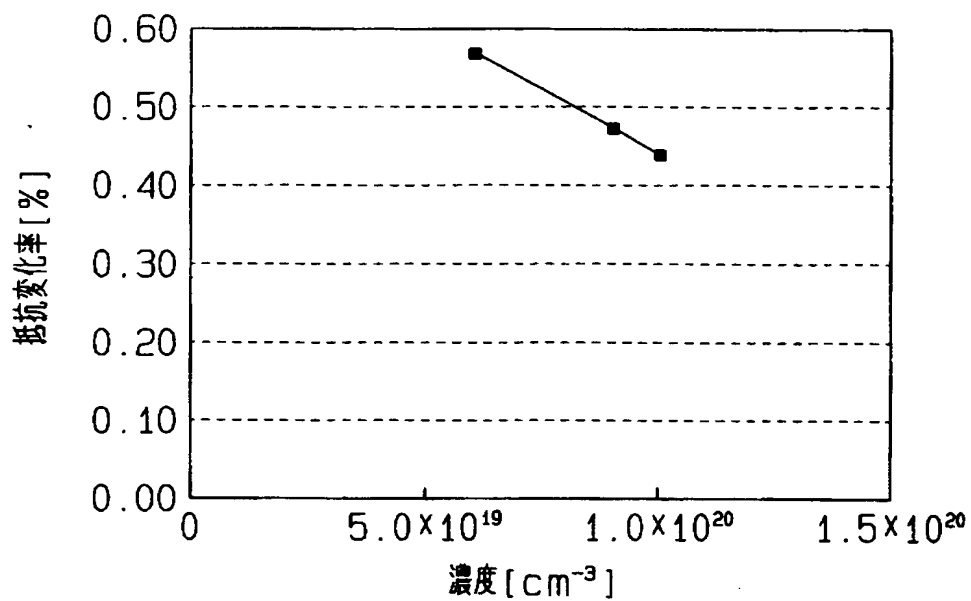
【図 4】



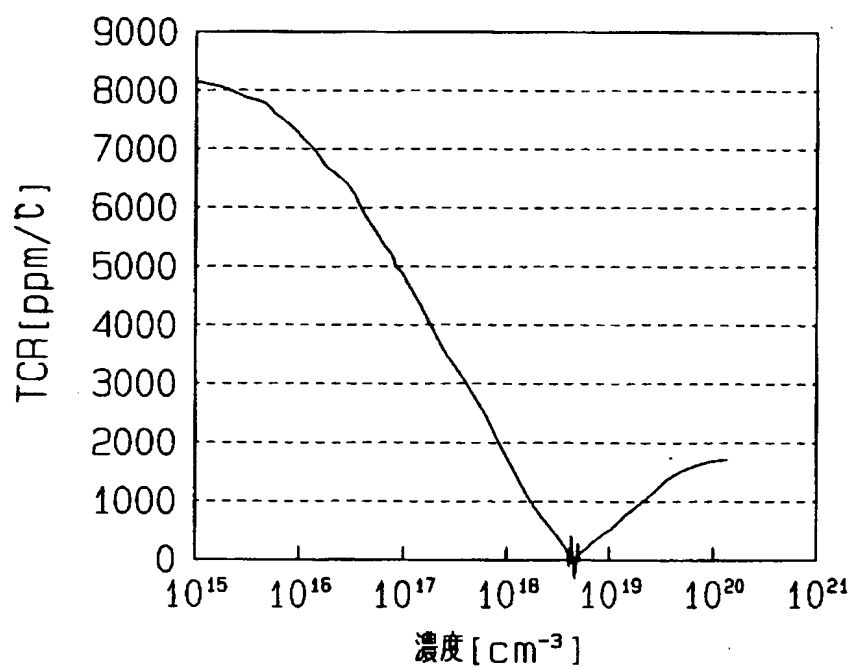
【図 5】



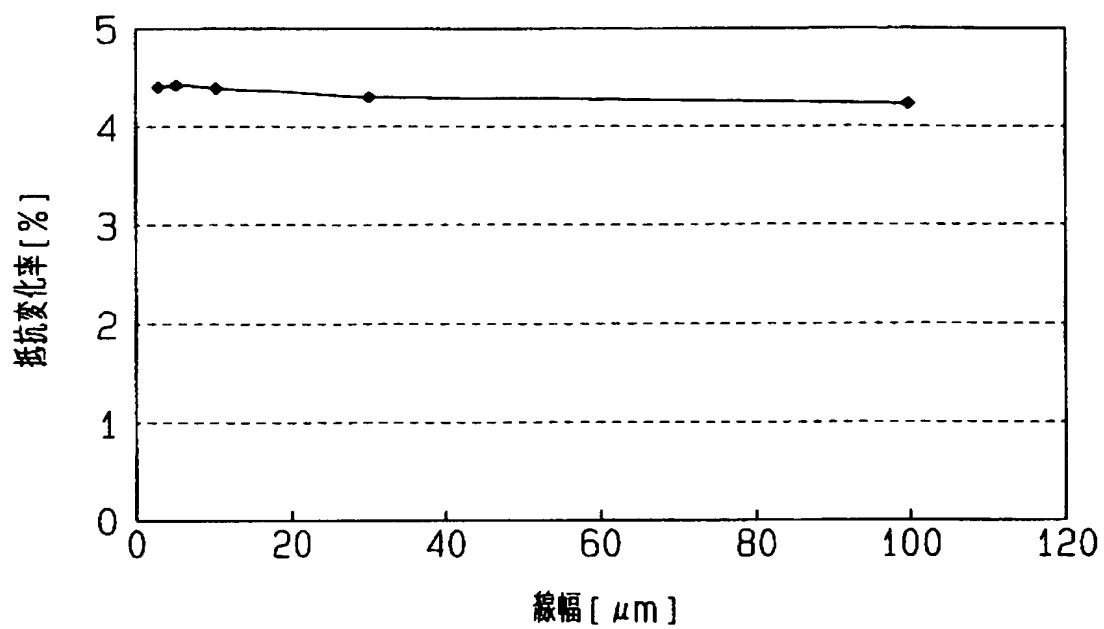
【図 6】



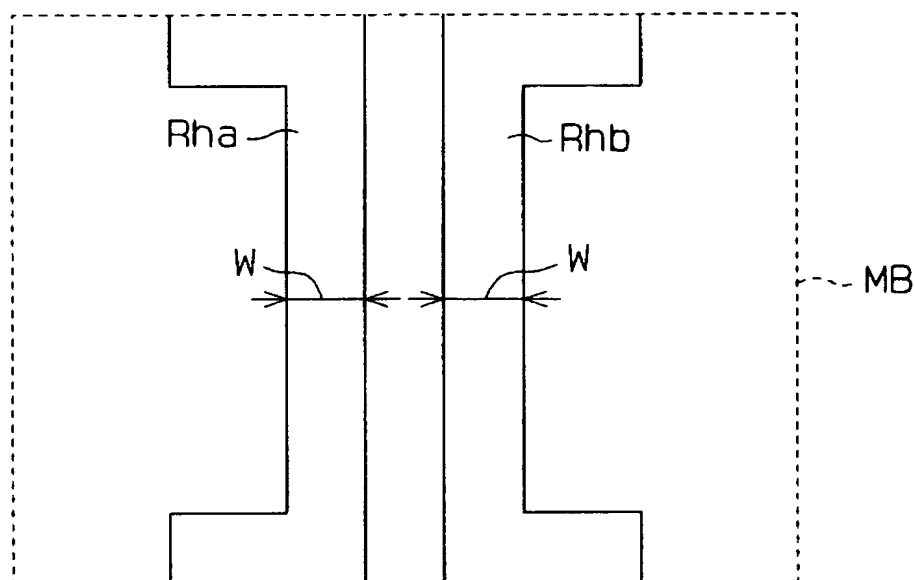
【図 7】



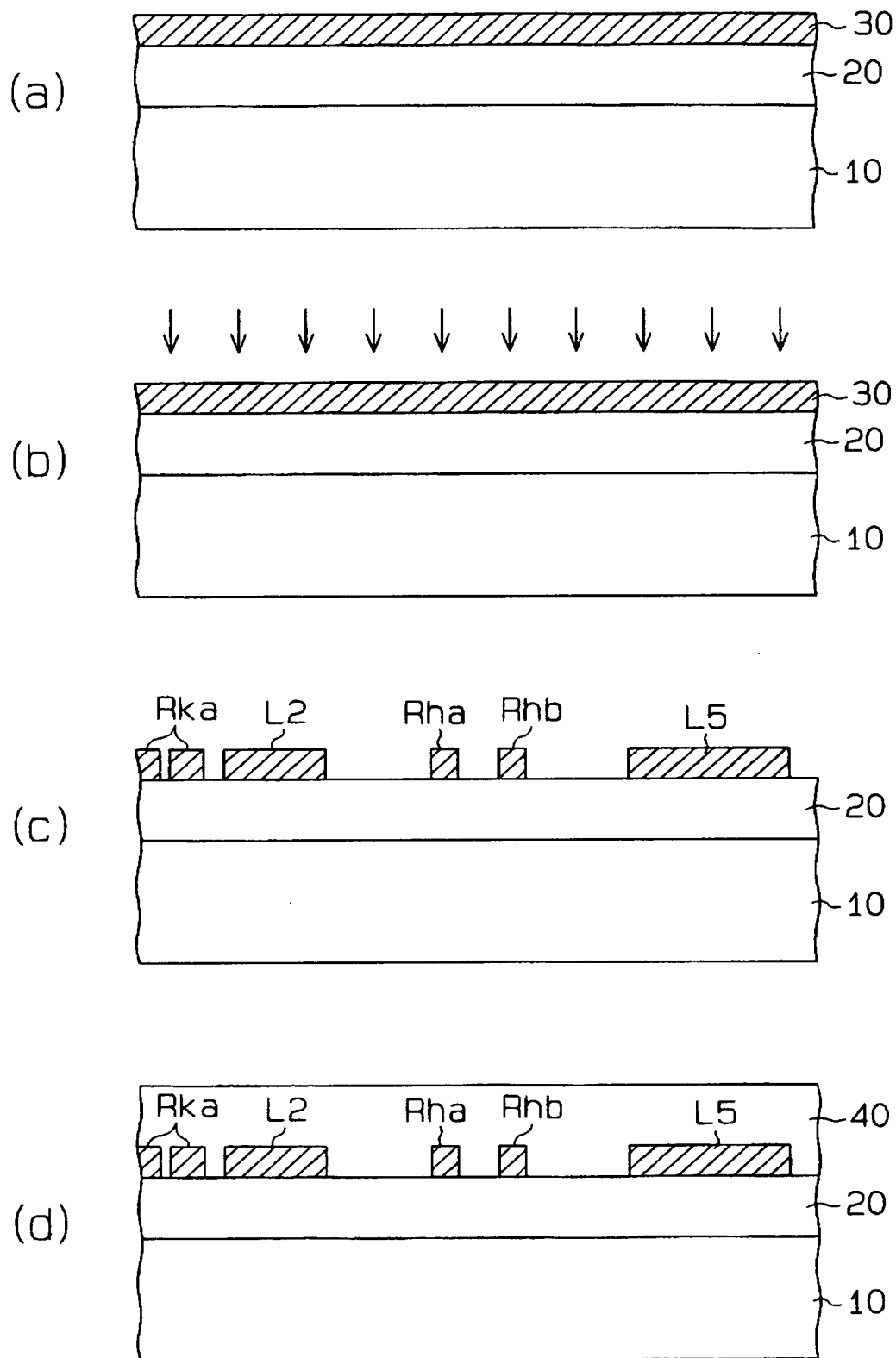
【図 8】



【図 9】

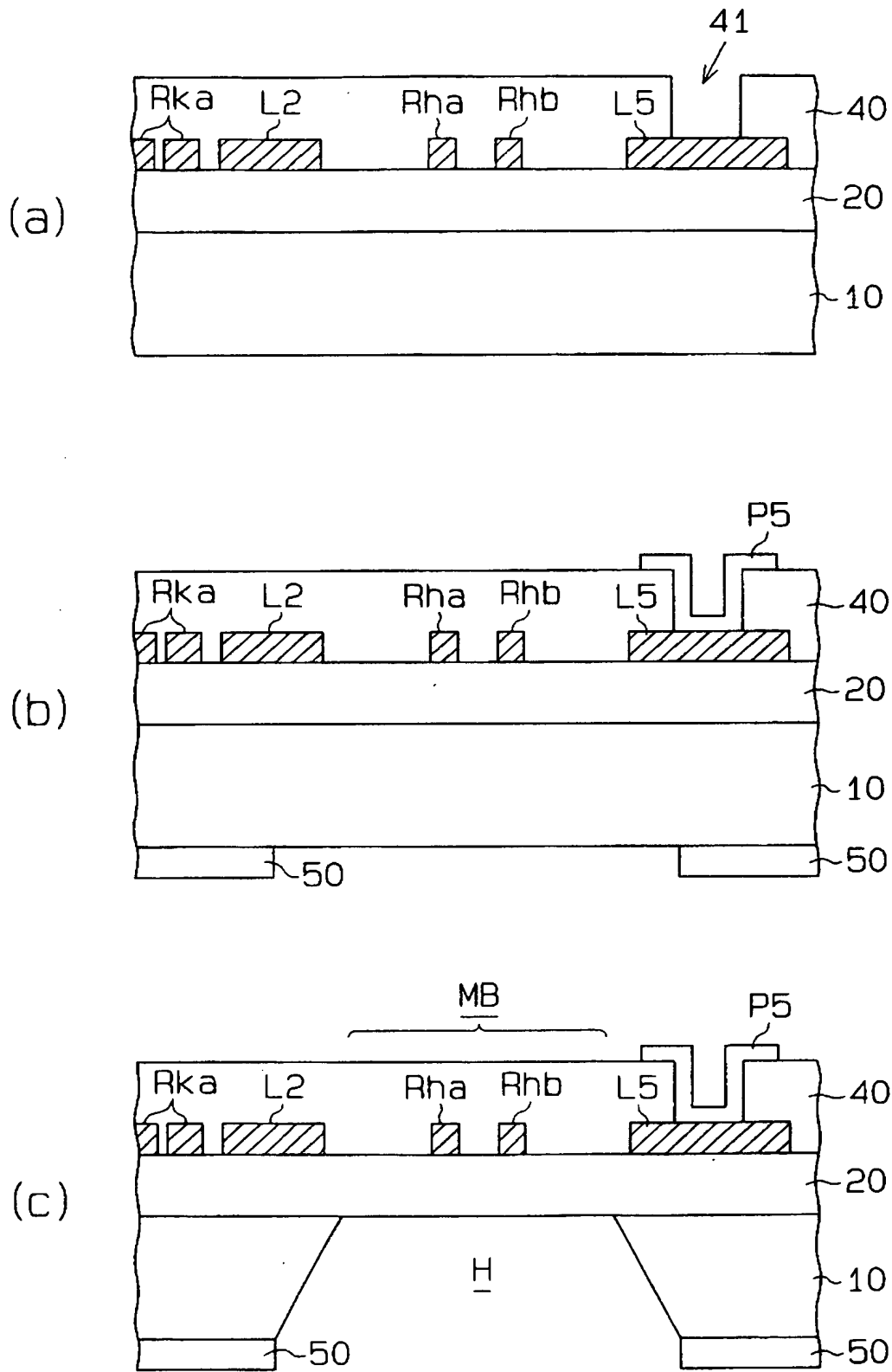


【図 10】

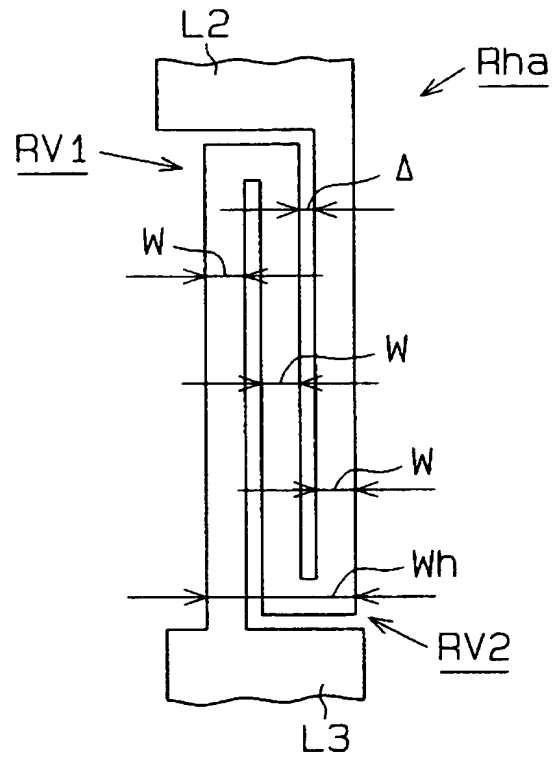




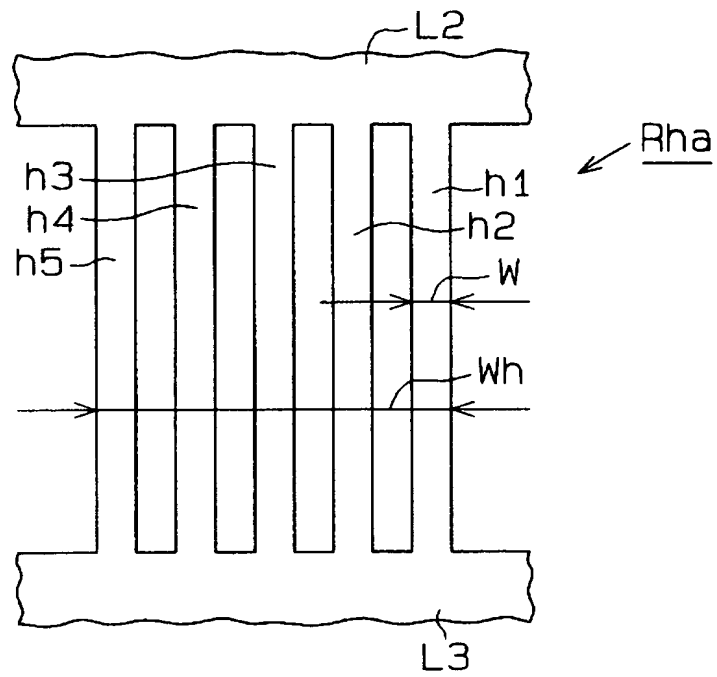
【図 11】



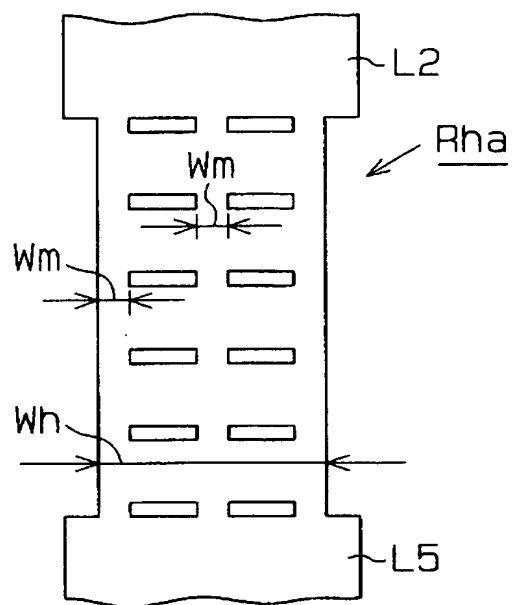
【図 12】



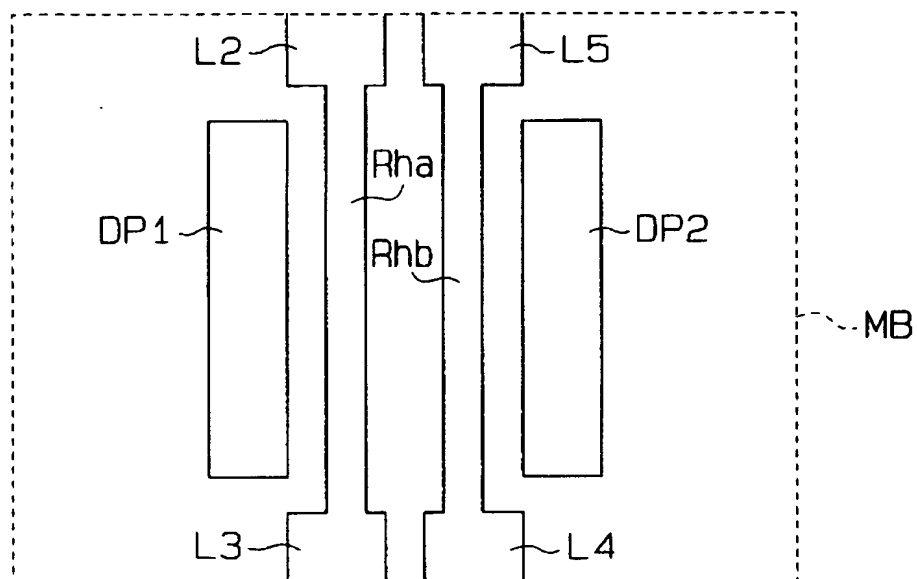
【図 13】



【図 14】



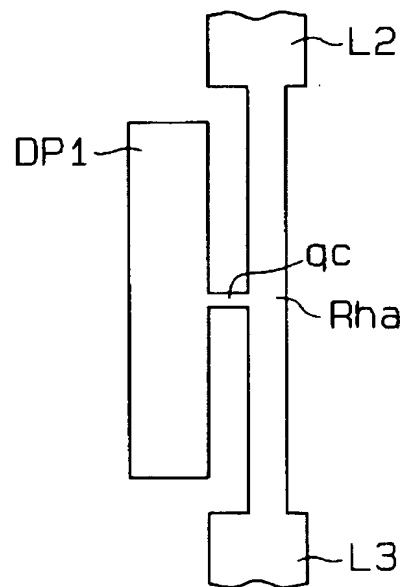
【図 15】



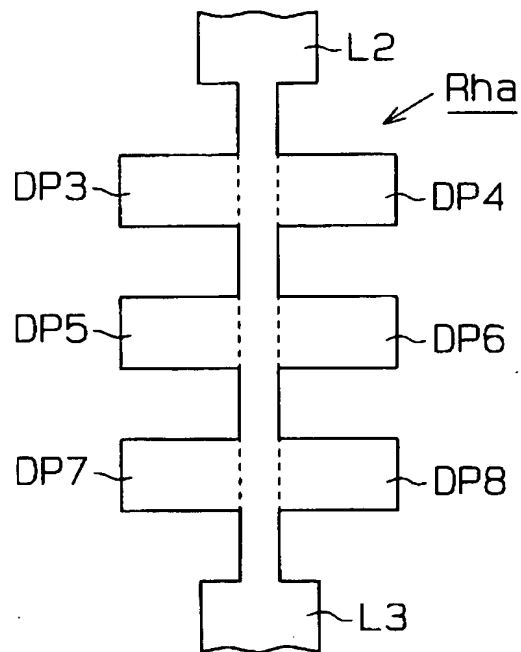
【図 16】

	熱伝導率 $k$ [W/(m·K)] 0℃	電気抵抗率 $\rho$ [Ω·m] 0℃	$k\rho$ [W·Ω/K]
Al	236	$5.50 \times 10^{-8}$	$1.30 \times 10^{-5}$
W	177	$4.90 \times 10^{-8}$	$8.67 \times 10^{-6}$
Pt	72	$9.81 \times 10^{-8}$	$7.06 \times 10^{-6}$
Cu	403	$1.55 \times 10^{-8}$	$6.25 \times 10^{-6}$
Si	168	$1.00 \times 10^{-5}$	$1.68 \times 10^{-3}$

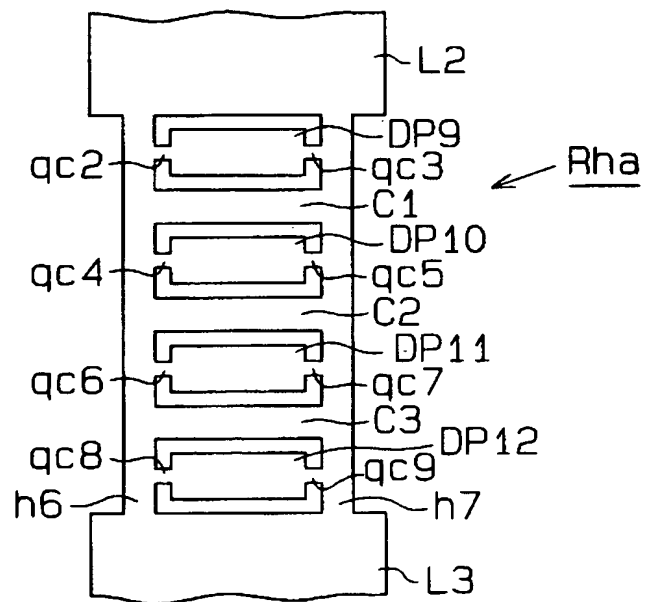
【図 17】



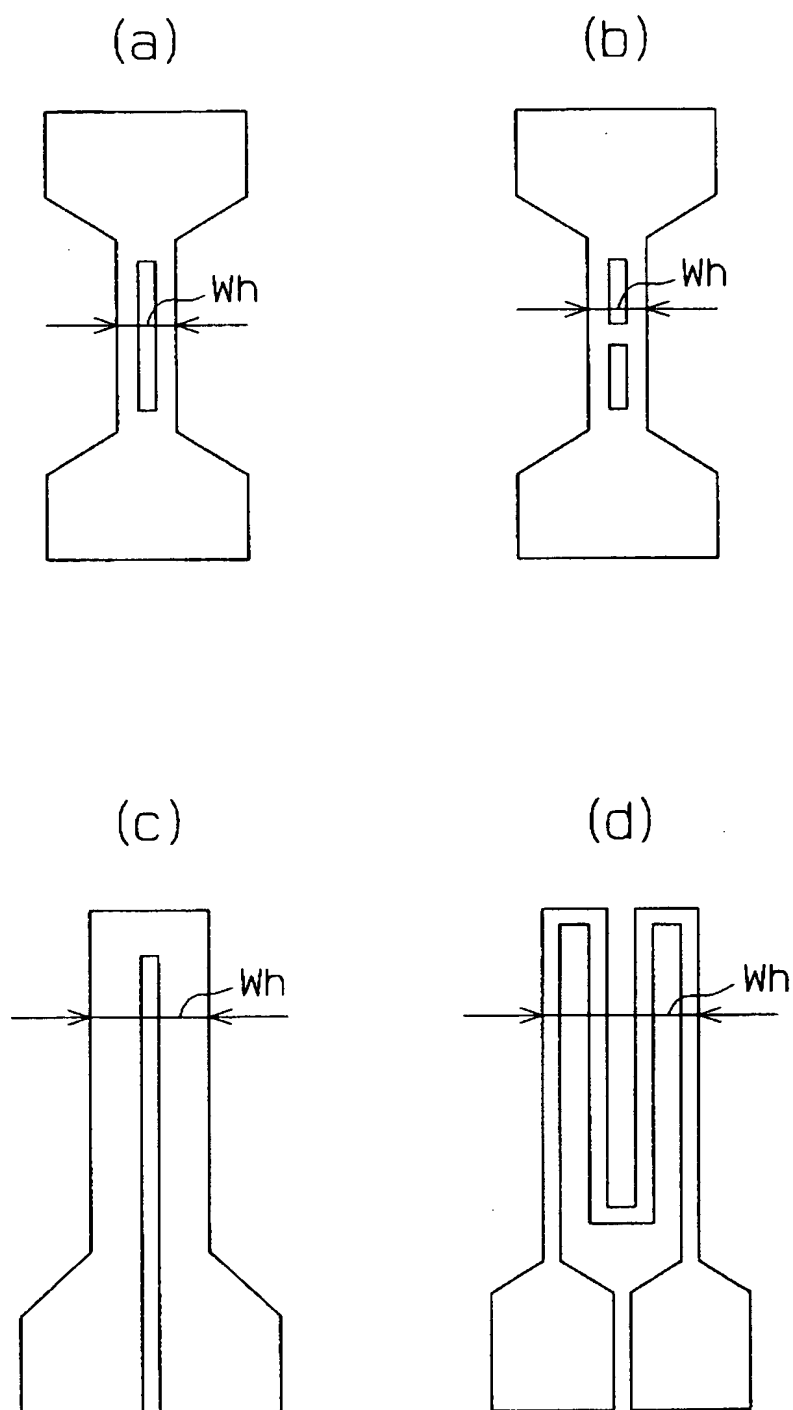
【図 18】



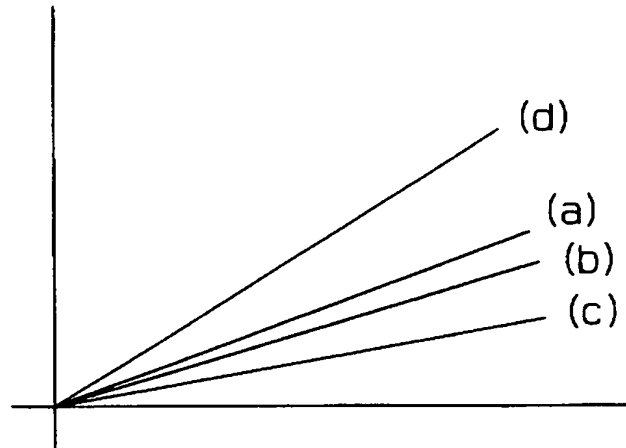
【図 19】



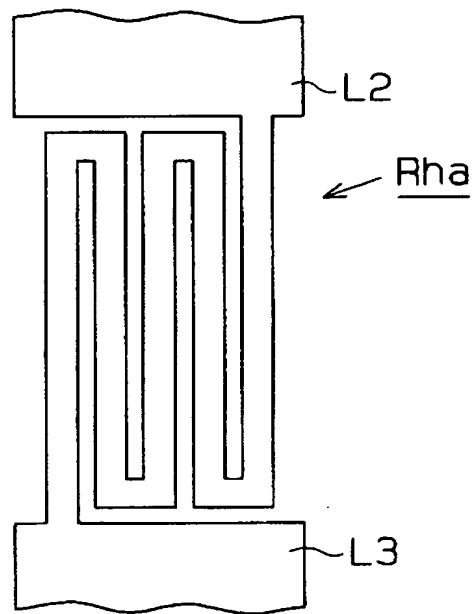
【図 20】



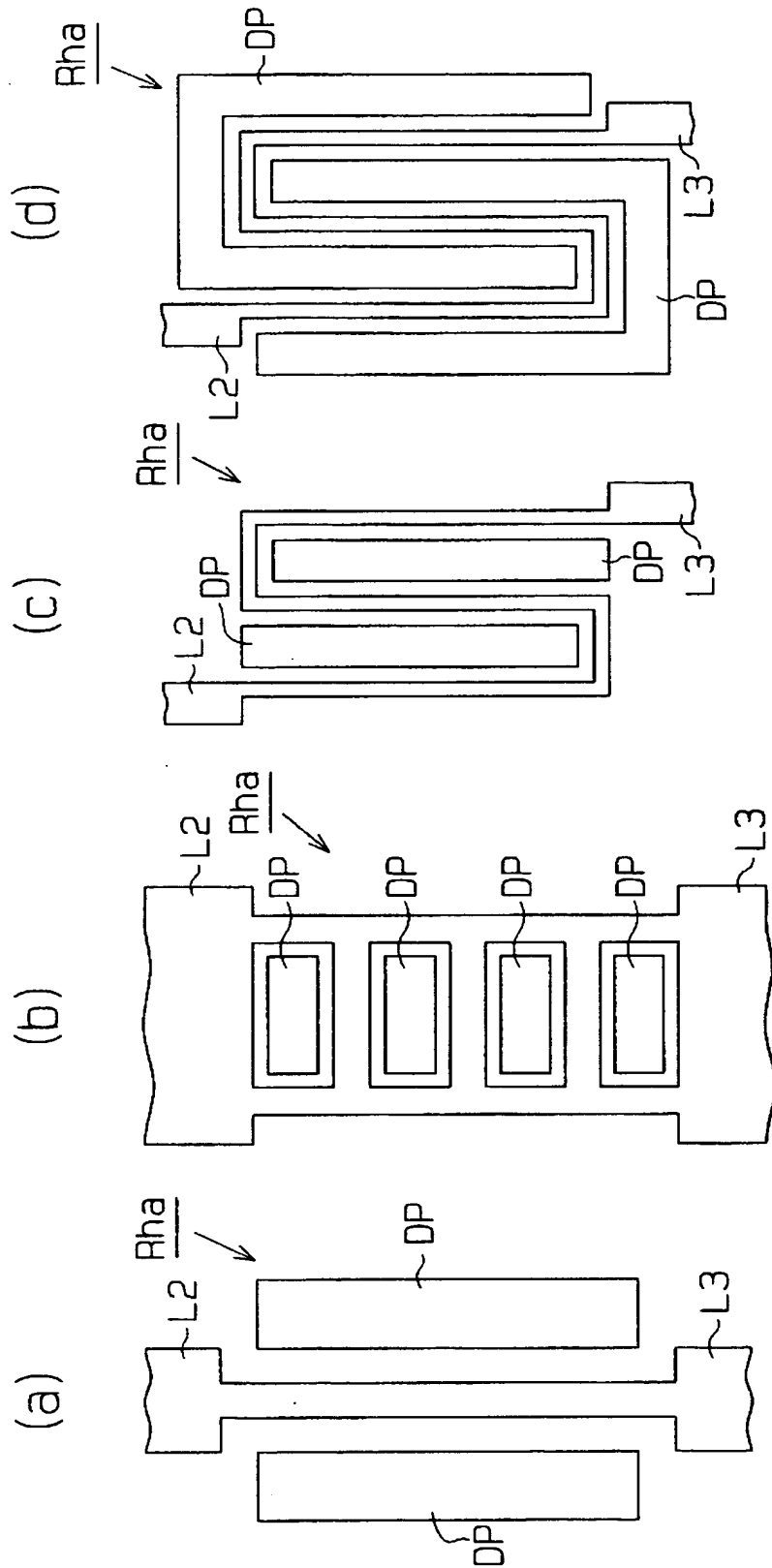
【図 2 1】



【図 2 2】

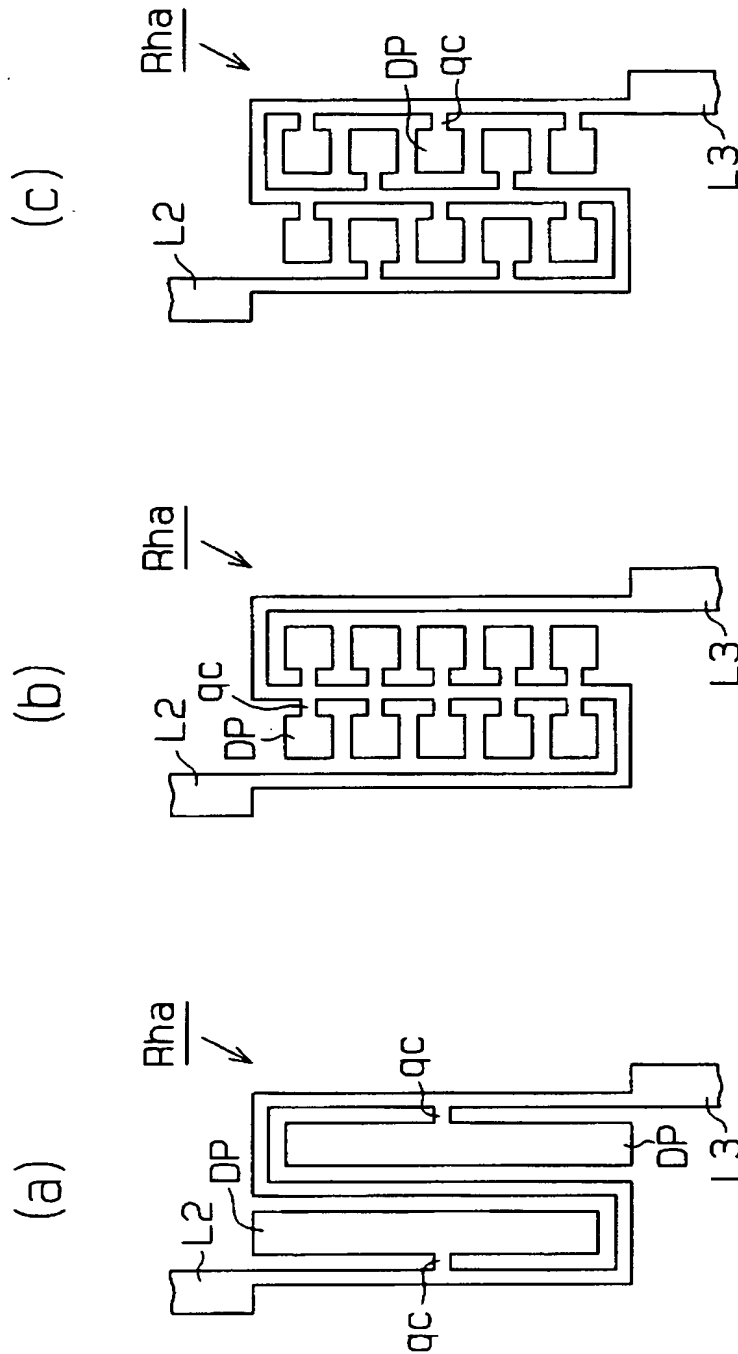


【図 23】

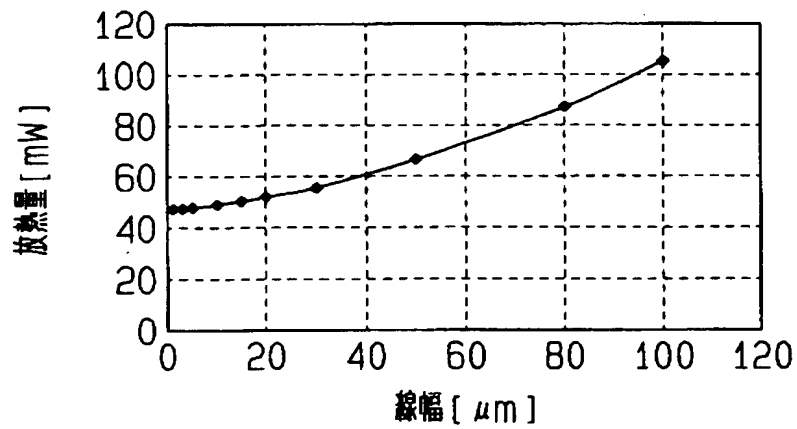




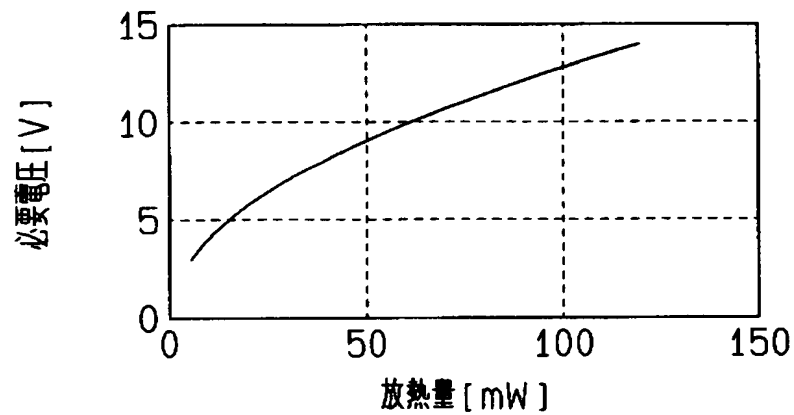
【図 24】



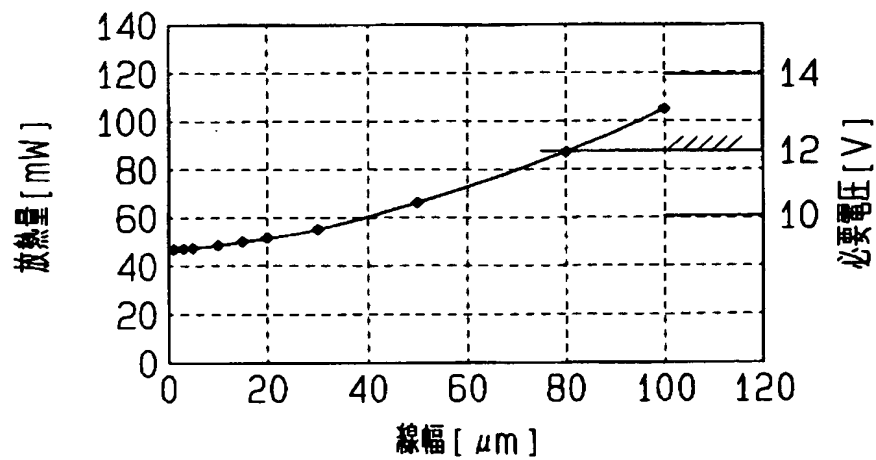
【図 25】



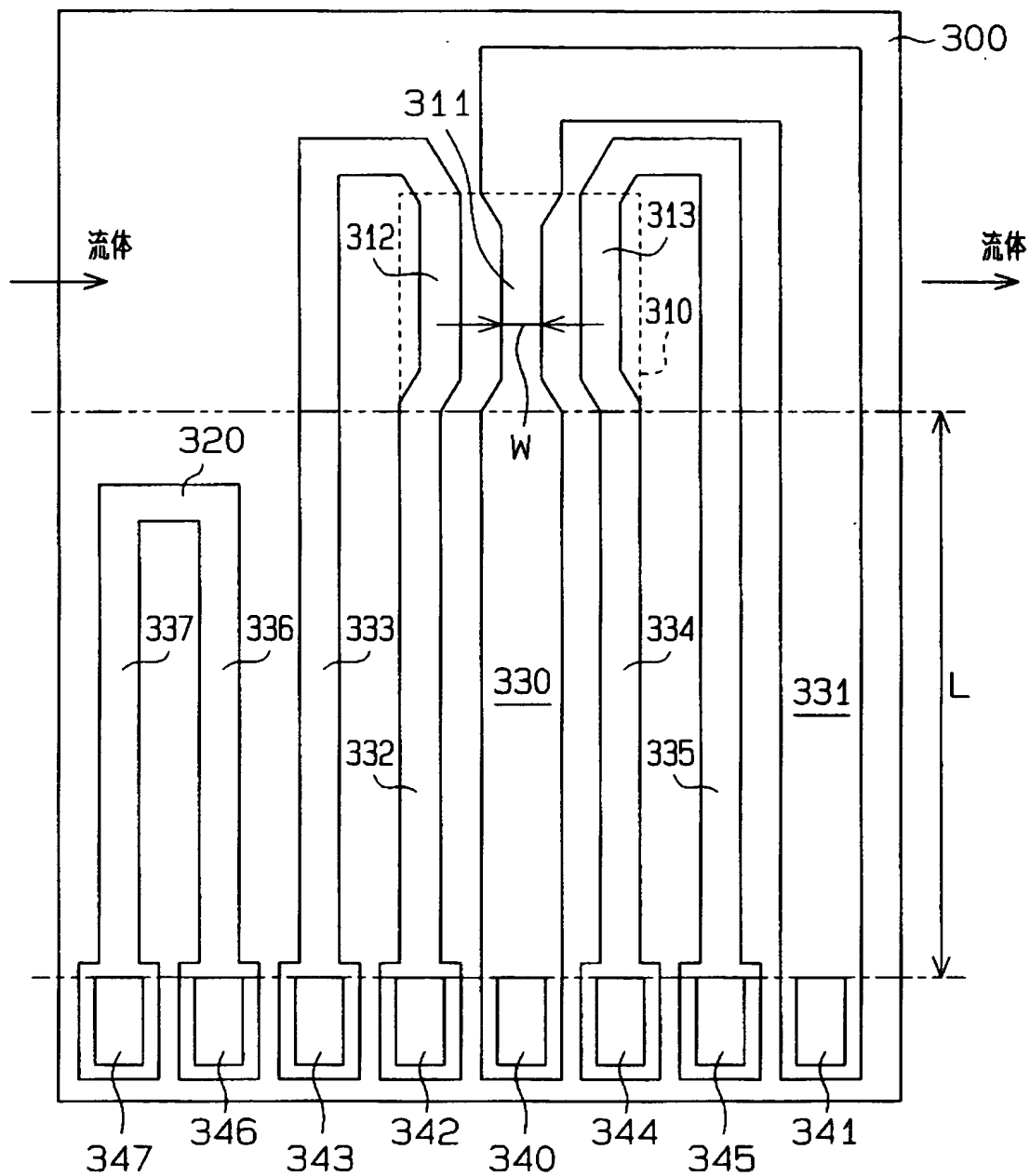
【図 26】



【図 27】



【図 28】



【書類名】 要約書

【要約】

【課題】消費電力の浪費を抑制しつつ、その感度の好適な向上を図ることのできるフローセンサを提供する。

【解決手段】半導体基板 1 0 には、シリコン酸化膜 2 0 が形成されている。そして、シリコン酸化膜 2 0 上には、上流側ヒータ R h a、下流側ヒータ R h b、リード部 L 1 ~ L 6、上流側温度計 R k a、下流側温度計 R k b が形成されている。これら上流側ヒータ R h a や、下流側ヒータ R h b は、ボロンの注入された単結晶シリコンにて形成されているとともに、その線幅が「7  $\mu$  m 以上」に設定されている。

【選択図】 図 2

特願 2 0 0 2 - 3 6 2 1 8 9

出 願 人 履 歴 情 報

識別番号

[ 0 0 0 0 0 4 2 6 0 ]

1. 変更年月日

1 9 9 6 年 1 0 月 8 日

[変更理由]

名称変更

住 所

愛知県刈谷市昭和町 1 丁目 1 番地

氏 名

株式会社デンソー